



UNIVERSIDAD NACIONAL AUTONOMA
DE MEXICO

FACULTAD DE CIENCIAS

DINAMICA DE PIROCLASTOS
EN
ERUPCIONES VOLCANICAS

T E S I S

QUE PARA OBTENER EL TITULO DE:
F I S I C O

P R E S E N T A:
RAFAEL PEREZ BARRAGAN

México, D. F.

1985



UNAM – Dirección General de Bibliotecas Tesis Digitales Restricciones de uso

DERECHOS RESERVADOS © PROHIBIDA SU REPRODUCCIÓN TOTAL O PARCIAL

Todo el material contenido en esta tesis está protegido por la Ley Federal del Derecho de Autor (LFDA) de los Estados Unidos Mexicanos (México).

El uso de imágenes, fragmentos de videos, y demás material que sea objeto de protección de los derechos de autor, será exclusivamente para fines educativos e informativos y deberá citar la fuente donde la obtuvo mencionando el autor o autores. Cualquier uso distinto como el lucro, reproducción, edición o modificación, será perseguido y sancionado por el respectivo titular de los Derechos de Autor.

ÍNDICE

RESUMEN(1)

Capítulo I

GENERALIDADES:

Introducción(2)

Formación de Volcanes(4)

Capítulo II

MATERIALES ERUPTIVOS Y TIPOS DE ERUPCIONES VOLCANICAS:

Tipos de Materiales(9)

Tipos de Erupciones Volcánicas(13)

Capítulo III

MECÁNICA DEL MOVIMIENTO DE LOS PIROCLASTOS EN ERUPCIONES VOLCANICAS

TIRI PLINIANA:

Análisis Unidimensional de la Caída de Piroclastos(16)

Velocidad Terminal(29)

Viscosidad y Gravedad(31)

Análisis Bidimensional de la Caída de Piroclastos(34)

Solución de Las Ecuaciones Bidimensionales por el Método de

Runge - Kutta(38)

Energía Cinética de los Piroclastos(44)

Capítulo IV

APLICACIONES DE LAS ECUACIONES DE MOVIMIENTO Y DEL MODELO DE

WALKER ET AL. (1971):

Desarrollo del Análisis Computacional(46)

Síntesis de Resultados Numéricos para Varios Piroclastos(48)

Capítulo V

ANÁLISIS DE LOS PIROCLASTOS EN LA COLUMNA ERUPTIVA:

Estratificación de Piroclastos en La Columna Eruptiva(60)

Cálculo de Las Velocidades de Salida(64)

Caloros de La Columna de una Erupción Volcánica(65)

Capítulo VI

CONCLUSIONES:

Conclusiones(72)

Apéndice A

APROXIMACION DE ALGUNAS CURVAS EXPERIMENTALES POR MEDIO DE SEGMENTOS DE RECTA:

Curva de la Variación del coeficiente de Fricción con Respecto al Número de Reynolds en el Intervalo 10^4 a 10^4 , para Cilindros.

Dada por Lapple y C.B. Shepherd, (1940)(73)

Curva de la Variación del Coeficiente de Fricción con respecto al Número de Reynolds en el intervalo 10^4 a 5×10^5 , para Cilindros con rugosidad de 7×10^{-3} del Diámetro del Cilindro(76)

Curva de la Variación del Coeficiente de Fricción en Función del Número de Mach en el Intervalo de 0.1 a 5 mach, para Cilindros.

Dado por Hoerner (1965)(78)

Apéndice B

DIAGRAMA DE FLUJO Y PROGRAMA DE COMPUTO:

Diagrama de Flujo(81)

Programa de Computo(83)

Apéndice C

**RESULTADOS NUMÉRICOS DIRECTOS DE LA COMPUTADORA PARA VARIOS PIOD-
CLASTOS**(87)

Referencias

REFERENCIAS(100)

RESUMEN

En este trabajo se analiza la dinámica de las partículas arrojadas en una erupción volcánica, y que viajan a través de un fluido viscoso como es la atmósfera de la Tierra. A partir del modelo propuesto por Walker, et al (1971), se obtienen las ecuaciones de movimiento, que describen las trayectorias de estas partículas, las cuales no son tratables por métodos analíticos y las soluciones se obtienen tratando numéricamente el problema, por el método de Runge-Kutta. Un programa de computadora en FORTAN, basado en este algoritmo nos provee de soluciones para varios ángulos de salida, tamaños de las partículas, densidades y parámetros dinámicos.

Finalmente, el análisis del movimiento conjugado de gases y piroclastos, nos permite entender y explicar la dinámica de una columna eruptiva, así como su colapso.

CAPITULO I

GENERALIDADES:

Introducción.

En los últimos años la vulcanología ha sido objeto de un renovado interés, sobre todo en aquellos países que tienen grandes zonas volcánicas. Aunque la vulcanología como ciencia se ha desarrollado desde el siglo pasado, sólamente en las últimas décadas se ha procurado entender sus problemas desde un punto de vista físico-matemático. El estudio de la vulcanología es de relevancia científica — por si misma, pero un análisis somero nos muestra que el vulcanismo tiene un impacto significante para los seres vivos y civilizaciones — que han poblado el planeta, por lo que podemos decir que ha sido un factor muy importante en el medio ambiente, y por ende en la vida, sobrevivencia y costumbres de las poblaciones humanas.

Por medio del análisis químico de los materiales que arrojan los volcanes, sabemos que contienen los componentes necesarios para la vida (bióxido de carbono, hidrógeno, calcio y otros). Estos materiales son además excelentes formadores de suelos fértilles y, en consecuencia modifican el medio ambiente, repercutiendo en las costumbres de los seres que circundan un área determinada.

La actividad volcánica presenta dos efectos: uno de riesgo, como cuando nace o entra en renovada fase eruptiva; este efecto en ocasiones ha destruido pueblos u obligado a sus habitantes a migrar; como es el caso de la ciudad de Pompeya que fué sepultada por

La erupción del Vesubio 179 D. de J.C.; el otro efecto es de carácter benéfico, ya que puede crear islas en medio del mar, que posteriormente se vuelven habitables y algunas son tan grandes que pueden albergar grandes ciudades autosuficientes, como Hawaii y algunas islas de Japón. Otras civilizaciones han tenido su origen en zonas circundantes a volcanes y esto ha sido determinante en su desarrollo. - Estos factores y otros nos señalan la importancia que tiene la vulcanología, por lo que es necesario hacer estudios cada vez mas detallados de todos los aspectos que intervienen en el fenómeno volcánico.

En el presente trabajo se exponen algunos modelos relativamente recientes, para explicar algunos de los aspectos observados en erupciones volcánicas y en especial las de tipo pliniano. Este nombre se la ha dado a erupciones semejantes a la del Vesubio, - 179 D.C., Italia. Se cree que este volcán era originalmente submarino y después de un periodo muy activo emergió a la superficie. En el año 79 D.C. tuvo una erupción que fué descrita por Plinio en una carta dirigida a Tacito; de aquí se adoptó el nombre de plinianas a erupciones de tipo similar. Entre las erupciones mas grandes que ha tenido el Vesubio, después de destruir a Pompeya, se pueden contar las de 1631, 1794, 1906 y 1944. En nuestro país, el volcán Chichón, Chichonal ó Cerro de La Unión, en el estado de Chiapas, presentó este tipo de actividad entre marzo y abril de 1982. De acuerdo con este tipo de actividad, se define como erupción pliniana aquella que es de forma explosiva, rica en gases, La caída de objetos finos y ceniza es dispersada en una extensa área, y en algunos casos la columna

eruptiva se colapsa.

En particular, tratarémos en este trabajo algunos de los aspectos de la dinámica de piroclastos en su movimiento a través de la atmósfera. Como veremos adelante, un modelo aún simple puede proveernos de información valiosa para entender y explicar algunos de los hechos observados en erupciones plinianas.

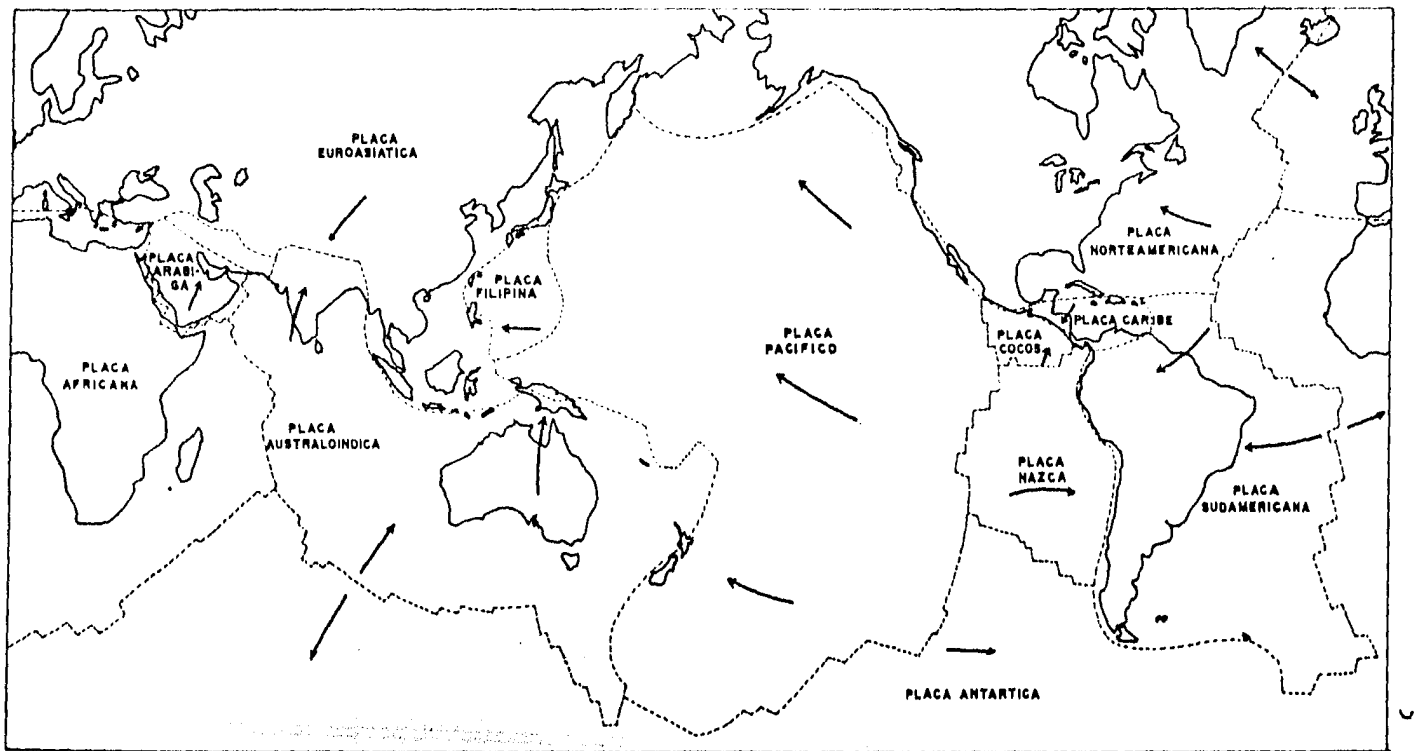
Formación de Volcanes.

Las zonas volcánicas están perfectamente localizadas geográficamente sobre la superficie de la Tierra. Estas zonas pueden ser explicadas de la "Tectónica de Placas". Esta comprende las ideas de Alfred Wegener (geólogo austríaco), publicadas en 1910 en su obra "Los orígenes de los continentes y los océanos" y las ideas de Hess (1962) sobre el espaciamiento de los fondos oceánicos. En su trabajo, Wegener propone que la posición que tienen actualmente los continentes, no ha sido siempre la misma sino que en un pasado estaban unidos en uno solo llamado "Pangea", el cual durante la era secundaria (jurásico) se fracturó y sus partes fueron separándose poco a poco hasta llegar a la posición actual, movimiento que continúa día con día; y que se ha llamado "Deriva de los Continentes".

Por medio del paleomagnetismo, podemos deducir la posición relativa de los continentes con respecto a los polos magnéticos para distintas épocas geológicas. Puede también observarse la correspondencia morfológica de los continentes y el ajuste entre los cinturones montañosos más antiguos, así como la relación de los estratos geológicos conteniendo organismos de diferentes ambientes; e

FIGURA I.I

EN ESTE MAPA SE MUESTRA LA CONFIGURACION Y LA DIRECCION DEL MOVIMIENTO DE LAS DOCE PLACAS QUE FORMAN LA LITOSFERA TERRESTRE, SEGUN LA TEORIA "TECTONICA DE PLACAS"



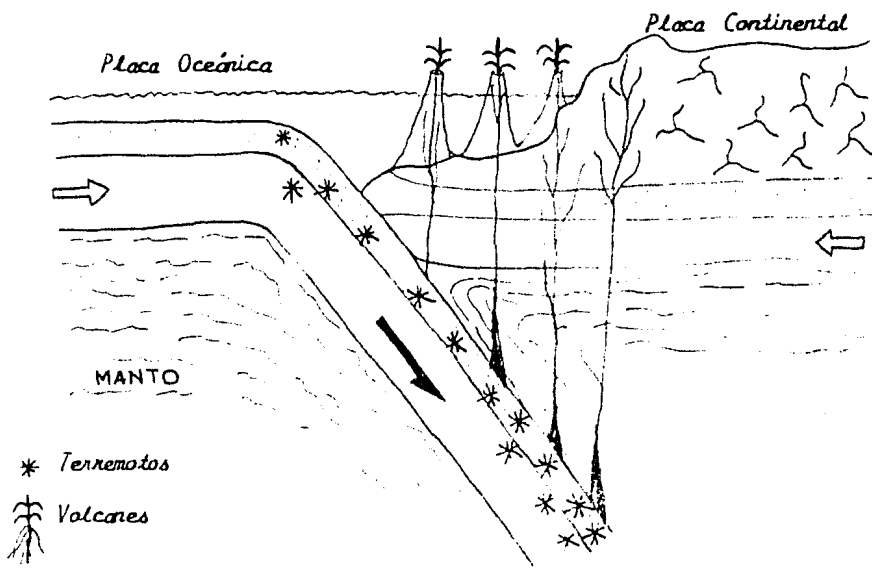
dades en determinadas zonas. Estos y otros fenómenos, nos permiten hacer una reconstrucción de la posición probable que tenían los continentes antes de empezar a separarse. Este movimiento continuo de los continentes es atribuido a la existencia de corrientes internas de convección de gran magnitud en el manto de la Tierra, (ver por ejemplo Tuzo, 1963; ó W.C. Menzie, et al 1977).

Las corrientes de convección mueven en la superficie - 12 placas en las que está dividida la litosfera de la Tierra, a manera de mosaicos, (figura 1:1). Estas placas se consideran casi rígidas, y su movimiento se manifiesta de cuatro formas sobre la superficie - de la Tierra: 1º) - Las fallas transformadas, donde ocurre un desplazamiento de una placa con respecto a otra en forma horizontal. 2º) - Las de colisión, aquí dos placas chocan entre sí, y en el caso en que sean ambas continentales, llegan a originar algunas montañas, como los montes Himalayas, los Andes y otros. 3º) - Las zonas de extensión, en estos sitios dos placas se separan una con respecto a la otra que se encuentra adjunta, al irse separando se origina una abertura, por la cual va surgiendo material lentamente en el transcurso de millones de años, el cual va formando una nueva corteza oceánica; como es el caso de la cordillera submarina del océano Atlántico. 4º) - La subducción, que consiste en el hundimiento de una placa oceánica debajo de la corteza continental, (figura 1:2), un ejemplo de este tipo es éste por - una placa del océano Pacífico (placa de Cocos) que se hunde bajo una parte de la República Mexicana, como es mostrado en la figura 1:1.

¹ El mapa de la figura 1:1 es obtenido de un artículo de Nofi, nov. 1975

Figura 1:2

ZONA DE SUBDUCCION



Los fenómenos 3 y 4 están directamente asociados con el vulcanismo, siendo el último el más relacionado, ya que es en zonas de subducción donde se localiza el mayor número de volcanes. En estas zonas el material de la litósfera se va hundiendo de tal manera que, hace pensar a algunos geofísicos en corrientes de convección en el manto terrestre, donde suponen un movimiento muy lento de mate-

rial (centímetros por año). Este movimiento es atribuido a fuentes internas de calor de La Tierra. El fenómeno de las corrientes de convección en La Tierra, es considerado similar a calentar un fluido de muy alta viscosidad, (ver por ejemplo Mc Kenzie, et al feb. 1974; Richter et al jun. 1975; Mc Kenzie et al ene. 1977).

Las zonas consideradas de subducción muestran una alta sismicidad atribuida a la acumulación de esfuerzos por fricción entre las placas. A medida que la placa descendente se va introduciendo en el manto superior, va encontrando una resistencia mayor. Se cree que esta resistencia llega a provocar sismos, y transformaciones químicas en algunos materiales que sufren la compresión, de tal manera que algunos de estos materiales pueden llegar a formar magmas, y en algunas ocasiones llegar a salir a la superficie y formar volcanes.

Para una explicación de los fenómenos químicos, que intervienen en la formación de magmas, ver por ejemplo Yoder, (1976).

CAPITULO II

MATERIALES ERUPTIVOS Y TIPOS DE ERUPCIONES VOLCANICAS:

Tipos de Materiales.

Los materiales expulsados en una erupción volcánica se presentan en tres formas: gas, lava y piroclastos; estos últimos constituyen la parte sólida, y están formados por materiales dentro de un rango muy amplio de tamaño, que va de arenas de unas cuantas micras - hasta rocas de varias toneladas.

Los gases que salen a la superficie al iniciarse una erupción volcánica, lo hacen a veces en forma violenta, debido a la alta presión a que se encuentra la cámara magmática. Al salir va empujando a su paso parte del material que está en su trayectoria, saliendo este material dispersado en la atmósfera, y algunas de estas partículas de material a muy alta velocidad con respecto a otras; esta velocidad depende principalmente de la presión, de la cantidad de gas que empuja y de la cantidad de material que sea expulsado.

La composición de los materiales que son expulsados ha sido estudiada en análisis químicos, y sus elementos están identificados. La cantidad en que se presentan estos para cada erupción volcánica depende de muchos factores; tales como el lugar donde se originó el magma, la mezcla que tuvo con sus alrededores, así como los procesos químicos y físicos por los que va pasando.

Los elementos, mezclas y compuestos más comunes en erupciones volcánicas son los siguientes: (índices 2:1 y 2:2).

Tabla 2:1

FASES	
Símbolo	Nombre
H_2O	Oxido de Hidrógeno (vapor de agua)
CO_2	Bióxido de Carbono
N_2	Nitrógeno
SO_2	Dióxido de Azufre
H_2	Hidrógeno
CO	Monóxido de Carbono
Cl_2	Cloro
A	Argón

Tabla 2:2

LAJAS Y PIROCLASTOS	
Símbolo	Nombre
SiO_2	Bióxido de Silicio
Al_2O_3	Oxido de Aluminio
Fe_2O_3	Oxido de Hierro
MgO	Oxido de Magnesio
CaO	Oxido de Calcio
Na_2O	Oxido Sódico
K_2O	Oxido Potásico
TiO_2	Dióxido de Titánio
H_2O	Oxido de Hidrógeno (agua)

Tablas 2:1 y 2:2 .- Materiales más comunes en una erupción volcánica, (Holmes, 1965).

Los piroclastos son fragmentos de material sólido que se presenta en muy diversas formas, tamaños y densidades. Los principales elementos que constituyen los piroclastos son iguales a los que forman las lavas, y similares a los de la corteza terrestre; esto se debe a que en muchas ocasiones los piroclastos son lava solidificada, en otras son fragmentos de la corteza. Así como la lava es parte de la corteza fundida, en determinadas proporciones. En la tabla 2:3 se muestran los porcentajes de estos elementos, (Nisason, 1966).

Tabla 2:3

%	ELEMENTO								
	O	Si	Ti	Al	Fe	Mg	Ca	Na	K
Porcentaje en Volumen	94.07	0.88	0.04	0.47	0.34	0.26	1.15	1.07	1.71
Porcentaje en Peso	46.5	28.9	0.5	8.3	4.8	1.9	4.1	2.3	2.4

Algunos piroclastos están constituidos por sulfatos, silicatos, fosfatos y otros minerales. La composición de la lava es dada por la mezcla de los compuestos dados en la tabla 2:2. Estos compuestos asociados de cierta manera y en porcentajes específicos, nos dan las características de los piroclastos y lavas; algunas de ellas son agrupadas en la tabla 2:4, (Holmes, 1965).

TABLA 2:4

MATERIALES QUE SURGEN EN FORMA DE LAVA (PORCENTAJE PROMEDIO)									
COMPUESTOS	GRANITO DE LA CORTEZA SUPERIOR	BASALTO ALCALINO	TELEITA	ESPILITA	RIOLITA	ANDESITA	TRAQUITA	FONOLITA	PERIDOTITA
SiO ₂	67 %	46 %	50 %	51 %	73 %	60 %	63 %	55 %	43.5 %
Al ₂ O ₃	18 %	15 %	16 %	14 %	15 %	17 %	16 %	20 %	4 %
Fe ₂ O ₃	1 %	4 %	2 %	3 %	0.6 %	2 %	2.5 %	2.5 %	2.5 %
Fe O	8.5 %	8 %	7 %	9 %	1.6 %	4 %	1.6 %	3.6 %	10 %
Mg O	1.6 %	9 %	8 %	4.5 %	0.8 %	3.6 %	0.8 %	1.6 %	34 %
Ca O	3.6 %	9 %	12 %	7 %	1.6 %	7 %	1 %	8.6 %	3.6 %
Na ₂ O	4 %	3.6 %	2.6 %	5 %	4 %	3.6 %	7 %	8 %	0.8 %
K ₂ O	3 %	1.6 %	0.6 %	1 %	4 %	1.6 %	6 %	6 %	0.3 %
Ti O ₃	0.6 %	3.6 %	1.6 %	3.6 %	0.6 %	0.6 %	0.5 %	0.5 %	1 %
H ₂ O	1 %	0.8 %	0.6 %	3 %	1.6 %	1 %	1.6 %	1.6 %	0.7 %

Tipos de erupciones Volcánicas.

A continuación se incluye una clasificación descriptiva de varios tipos de erupciones volcánicas:

Las erupciones hawaianas se caracterizan por la gran cantidad de lava basáltica que se derrama por las paredes exteriores del volcán. Esto puede ser desde la cima o por fisuras laterales que se abren paulatinamente. Son poco violentas y los fragmentos expulsados normalmente preceden a la descarga de la lava, estos pueden ir edificando, a pasos, conos de amontonamiento. La ceniza es muy escasa y la lava baja en forma calmada a tierra.

Una erupción stromboliana involucra materiales de tipo basáltico andesítico, el fluido magmático es moderado, las explosiones varían dentro de un rango que va de débiles a violentas. El flujo puede continuar con actividad explosiva por meses o por años. Forman conos de ceniza y las lavas se depositan en los alrededores en volúmenes moderados.

Las vulcanianas envuelven casi cualquier tipo de magma de basáltico a riolítico. Durante la fase principal, el magma se vuelve rico en gases, formando mezclas de ceniza con bombas y lapilli, lo cual forma al enfriarse una corteza dura. La ceniza se dispersa mucho más que en las hawaianas y strombolianas. El flujo de piroclastos y sedimentos de los depósitos puede estar unido, y precipitarse hacia abajo al final del ciclo, entonces la lava se vuelve escasa.

Las erupciones Peléanas se caracterizan por sus lavas

son generalmente muy viscosas, y son de tipo riolítico, dacítico o an-

desítico. Durante la parte inicial de la erupción, se producen explo-

siones muy violentas, se forma una gran columna, alcanzando la ceniza

grandes alturas, al mismo tiempo se produce una ráfaga de viento en -

forma descendente. Posteriormente sale un magma efervescente, que pro-

duce una nube ardiente. La alta viscosidad de las lavas hace que su -

movimiento sea muy lento, de tal manera que se forman cúpulas y espi-

nas en etapas de tiempo muy cortas. La caída de ceniza y piroclastos

es menor que en las Vulcanianas y Plinianas, así como su esparcimien-

to en la zona. En ocasiones es tan espesa la lava que llega a colap-

sarse en algunas grietas laterales.

Las erupciones plinianas son aquellas que inición su e-
rupción en forma explosiva, con gases continuos, a altas velocidades,
arrojando gran cantidad de piedra pómex entre los diferentes piroclas-
tos expulsados. Estos piroclastos salen a diferentes velocidades, que
varían de unos cuantos centímetros por segundo, hasta cientos de me-
etros por segundo, alcanzando grandes alturas y grandes distancias con
respecto al eje vertical de salida, con diferentes direcciones radio-
les. Algunas de estas erupciones son de vida muy corta y con explosio-
nes ricas en gases. El magma silícico que precede a la lava basáltica,
sale primero en forma de rociado y posteriormente aparece la avalan-
cera de lava y ceniza. En algunos casos la cámara magmática se vacia -
completamente, cortándose abruptamente el abastecimiento, con lo cual
la cima del volcán se colapsa, y se produce una caldera. Los piroclas-
tos de gran tamaño son dispersados en una extensa área, especialmente

durante el inicio de la erupción, pero si la erupción continua por largos periodos, la tefra generalmente se empieza a hacer burda y si llega acumularse en grandes cantidades, puede cerrar la salida.

Las erupciones Freatomagmáticas tienen su origen en el contacto de la lava expulsada con aguas subterráneas, produciendo de esta manera explosiones violentas. Pueden llegar a formar conos de ceniza basáltica; los cuales son muy comunes en las costas de zonas volcánicas. A veces producen escoria en las costas, cuando la salida del volcán es muy grande y el volcán está entre la costa y el mar.

En las erupciones freatómicas, también llamadas lloviznas o coníferas, el agua se va filtrando desde la superficie, y al hacer contacto con las rocas calientes cercanas al magma, se produce una explosión, debida al rápido calentamiento del agua y las altas presiones generadas por este calentamiento.

En muchas ocasiones no es claro que tipo de actividad presenta un volcán en erupción, puesto que algunos de ellos presentan características que pudieron tomarse como de uno u otro tipo. Por otro lado un mismo volcán puede presentar una actividad que evoluciona de una fase a otras.

CAPITULO III

MECANICA DEL MOVIMIENTO DE LOS PIROCLASTOS EN ERUPCIONES VOLCANICAS TIPO PLINIANA

En este capítulo se presenta el análisis del movimiento de los piroclastos en presencia del fluido viscoso que constituye la atmósfera terrestre. Dicho análisis es necesario para explicar la distribución observada de piroclastos después de una erupción volcánica, en términos de parámetros físicos que describen su movimiento - respecto al cráter o boca del volcán. Este análisis fué descrito por Walker (1971) y en esta exposición se sigue a dicho autor. En este modelo los piroclastos son idealizados como partículas esféricas o cilíndricas y se observa, como se verá en párrafos posteriores siguientes, que la forma cilíndrica es la que mejor se ajusta a los datos experimentales.

Análisis Unidimensional de la Caída de Piroclastos.

Primero se considera una partícula que cae en forma vertical en un fluido viscoso. Su ecuación de movimiento está dada por:

$$m \frac{dv}{dt} = m(y, v) = m G(y) , \quad \dots(1)$$

que es la ecuación del análisis de fuerzas que intervienen en el movimiento de la partícula, donde m es la masa de la partícula menos la masa del aire desalojado por la misma partícula, v es la velocidad de la partícula a la altura y , bajo la acción de la aceleración de la gravedad $G(y)$ y con una fuerza de fricción $m(y, v)$ debida al fluido.

La fuerza de fricción fué expresada primero por Newton como:

$$W_N = \pi r^2 \rho_A \frac{v^2}{2} ; \quad \dots(2)$$

donde r es el radio de una esfera, con velocidad v , viajando en un fluido de densidad ρ_A (aire). Los resultados experimentales mostraron que era necesario la introducción de una constante, C_d , llamada coeficiente de fricción, el cual depende de varios parámetros y características de la partícula; estos serán analizados posteriormente. Con la introducción de esta constante, la ecuación (2) queda expresada de la forma siguiente:

$$W = C_d \pi r^2 \rho_A \frac{v^2}{2} ; \quad \dots(3)$$

relacionando la ecuación (3) con la ecuación (1), observamos que es la parte correspondiente a la fuerza de fricción $W(y, v)$. Newton consideró, que el coeficiente C_d tenía el valor de 1, esto no siempre se cumple, ya que es función de Reynolds. Reynolds determinó un número R que es definido como la razón, entre la fuerza de inercia de un cuerpo y la fuerza producida por la viscosidad del medio donde se desplaza este cuerpo, (ver por ejem. De Nevers, 1970). La relación entre R y C_d se obtiene en forma experimental, donde se observa que varían en forma inversamente proporcional, o sea:

$$C_d \propto \frac{1}{R} \Rightarrow C_d = \frac{B}{R} ; \quad \dots(4)$$

donde B es una variable de proporcionalidad. El número de Reynolds es dado por, (De Nevers, 1970):

$$R = \frac{D v \rho_f}{\mu} , \quad \dots(5)$$

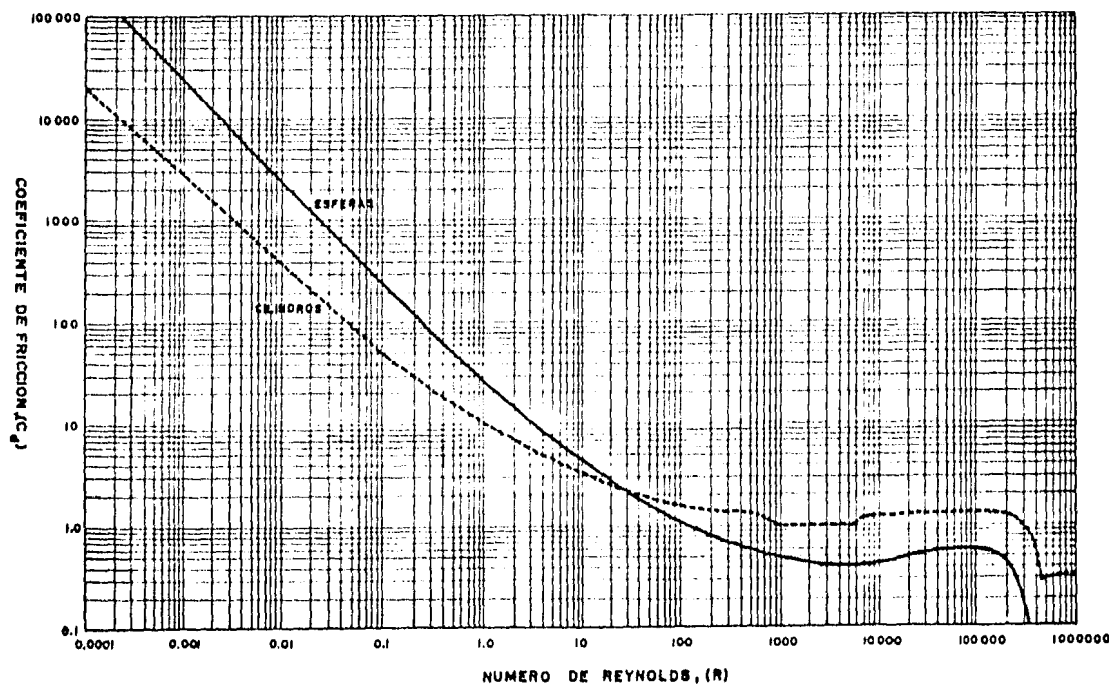
donde D es el diámetro de la partícula, v la velocidad de la partícula, ρ_f la densidad del fluido y η_f la viscosidad del fluido a través del cual se mueve la partícula.

C. E. Laplace y C. B. Shepherd (1940) (citada por De Nevers, 1970), realizaron determinaciones experimentales de la relación (1) y son ilustradas gráficamente en la figura 3:1. En esta gráfica - se muestra la forma en que varía el coeficiente de fricción C_d , con respecto al número de Reynolds R , para partículas de forma esférica y cilíndrica. Analizando estas gráficas observamos que B tiene un valor de 24 en la parte recta de la curva para esferas. En este caso se cumple la Ley de Stokes y se considera que el flujo es laminar alrededor de la esfera. Se tiene entonces:

$$C_d = \frac{24}{R} \quad \dots(6)$$

el valor de 24 es válido para valores de Reynolds muy bajos, los cuales corresponden a números de Reynolds, entre 0 y 1. Cuando el número de Reynolds toma valores arriba de 1, observamos que el valor de B varía conforme aumenta el número de Reynolds; al ir creciendo R , el coeficiente de fricción disminuye continuamente, pero en menor proporción que en el intervalo donde se cumple la Ley de Stokes ($0 \leq R \leq 1$). Esta disminución del coeficiente de fricción ocurre hasta un valor de $R=1000$, en este intervalo de 1 a 1000 la cota límite sigue siendo la menor pero el flujo se separa. En el intervalo de $10^3 < R \leq 2 \times 10^5$, la curva se hace relativamente plana, tomando el coeficiente de fricción un valor casi constante, de alrededor de 0.5, en este intervalo el -

GRAFICA DE LA VARIACION EN FORMA EXPERIMENTAL
DEL COEFICIENTE DE FRICTION, C_d , RESPECTO AL
NUMERO DE REYNOLDS, R , PARA ESFERAS Y CILIN-
DROS.



CURVA DADA POR LAPPLE Y C.B. SHEPHERD (1940)

flujo delante de la esfera es laminar y detrás se forma una estela turbulentă relativamente amplia, donde la presión es menor que la que experimenta la parte delantera. Al tomar valores el número de Reynolds - mayores de 2×10^5 el coeficiente de fricción experimenta una caída brusca; los resultados experimentales muestran que para $R > 2 \times 10^5$, se presenta la transición de la capa límite formada en la parte delantera de la esfera, tornándose una capa límite turbulenta y el tamaño de la estela disminuye; la fuerza debida a la presión sobre la esfera disminuye y el coeficiente de fricción en consecuencia también disminuye bruscamente, (ver por ejem. Roberson, et al 1983). La transición de la capa límite depende en gran parte de la rugosidad de la superficie del cuerpo, ver por ejem. figura 3:4.

in forma similar podemos analizar la curva para cilindros donde en la parte recta podemos establecer una relación análoga a (6), encontrando una constante adecuada, (ver apéndice II), esta constante y otras que son calculadas en el mismo apéndice, son utilizadas posteriormente en este trabajo.

A continuación haremos un análisis somero de las variaciones de la velocidad con respecto al diámetro típico de la partícula, a través de un número de Reynolds preestablecido; para ello consideraremos que nuestro fluido es aire atmosférico con densidad constante - $\rho_A = 0.00122 \text{ gr/cm}^3$, a una temperatura constante de 20°C y una viscosidad a esa temperatura de $\eta = 1.80 \times 10^{-6} \text{ gr/cm sec}$; el intervalo que se analiza de diámetros típicos es de 0.02 cm a 200 cm, que es el que se maneja en este trabajo. Primero analizaremos lo que sucede con v y D

para números de Reynolds menores de 1:

$$\frac{D \nu P_1}{4} \leq 1 , \quad \dots (17)$$

sustituyendo los valores de P_1 y 4, obtenemos la relación:

$$\nu \leq \frac{0.1475}{D} , \quad \dots (18)$$

en forma similar lo hacemos para $1 < R \leq 1000$ y $1000 < R \leq 2 \times 10^5$ donde obtenemos:

$$\nu \leq \frac{147.5}{D} , \quad \dots (19.A)$$

$$\nu \leq \frac{29500}{D} , \quad \dots (19.B)$$

respectivamente. Las relaciones (18), (19.A), y (19.B) son resueltas para algunos valores de D, los cuales son mostrados en la tabla 3:2 y en la gráfica 3:2. La tabla 3:2 muestra como varía la velocidad de una partícula, conforme aumenta el diámetro de la misma, considerando los demás parámetros de la relación de Reynolds constantes.

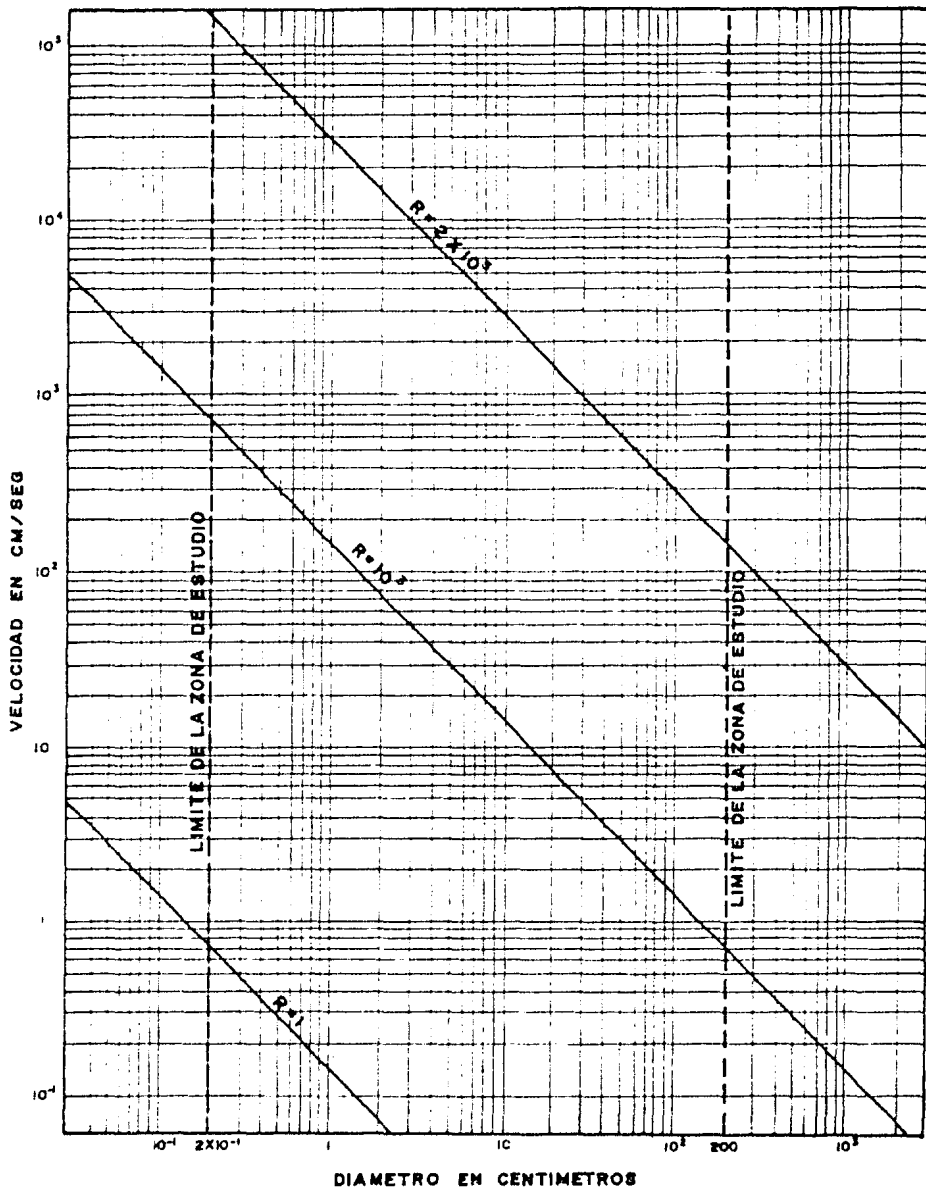
Tabla 3:2

$R \leq 1$, $\nu \leq \frac{0.1475}{D}$	$10^3 \geq R$, $\nu \leq \frac{147.5}{D}$	$R \leq 2 \times 10^5$, $\nu \leq \frac{29500}{D}$			
DIÁMETRO (cm)	VELOCIDAD MENOR DE (cm/seg)	DIÁMETRO (cm)	VELOCIDAD MENOR DE (cm/seg)	DIÁMETRO (cm)	VELOCIDAD MENOR DE (cm/seg)
0.2	0.7375	0.2	737.5	0.2	147 500
0.5	0.2950	0.5	295.0	0.5	59 000
1.0	0.1475	1.0	147.5	1.0	29 500
2.0	0.0737	2.0	73.7	2.0	14 750
5.0	0.0235	5.0	29.5	5.0	5 900
10.0	0.0147	10.0	14.7	10.0	2 950
50.0	0.00295	50.0	2.95	50.0	590
100.0	0.00147	100.0	1.47	100.0	295
200.0	0.000737	200.0	0.7375	200.0	147.5

GRAFICA 3:2

GRAFICA DE LA VARIACION DE LA VELOCIDAD, V, CON RESPECTO AL DIAMETRO TIPICO, D, DE LA PARTICULA, PARA UN NUMERO DE REYNOLDS DADO, DE ACUERDO A LA RELACION:

$$R = \frac{D V \rho_A}{\eta}$$



Analizando la gráfica 3:2, podemos darros cuenta de que muchas de las partículas en estudio, no caen dentro de la zona de la ley de Stokes. Para estar dentro, deberán tener un diámetro típico muy pequeño o una velocidad muy baja como se observa en la misma gráfica. Es necesario hacer un análisis mas general del movimiento de partículas, válido tanto para flujos laminares como turbulentos.

Para hacer el análisis mencionado, procedemos primero de la siguiente manera: Sustituimos la ecuación (3) en la ecuación (1) y como $W = W(y, v)$, obtenemos la relación siguiente:

$$\pi \frac{dv}{dt} = C_d A \rho_f \frac{v^2}{2} - m g(y) , \quad \dots(10)$$

donde A es el área de la partícula perpendicular al movimiento de la misma en el fluido. En la forma esférica el área es: $A = \pi a^2$, y en la forma cilíndrica, considerando que su eje del cilindro esta perpendicular al movimiento en el fluido, su área es: $A = D L$. Estos dos movimientos son representados en la figura 3:3.

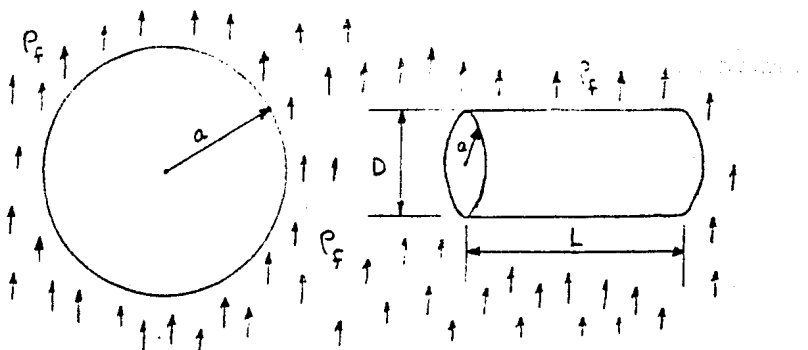


FIGURA 3:3

Espere y cilindro viajando en un fluido de densidad ρ_f .

Si consideramos en la relación (10), que nuestra partícula tiene la forma esférica, (el área es $A = \pi a^2$), dividiendo entre la masa de la partícula en términos de su volumen ($\frac{4}{3} \pi a^3$), su densidad ρ_p , obtenemos la relación simplificada:

$$\frac{dv}{dt} = \frac{3 C_d \rho_f}{8 \pi a \rho_p} v^2 - g(y) \quad \dots(11)$$

Si consideramos que las partículas tienen forma cilíndrica, de longitud L y radio a ; y en forma similar a la esfera hacemos el análisis matemático, obtenemos la relación simplificada siguiente:

$$\frac{dv}{dt} = \frac{C_d \rho_f}{\pi a \rho_p} v^2 - g(y) \quad \dots(12)$$

Estas dos últimas ecuaciones nos describen el movimiento lineal en el sentido de la gravedad de la Tierra, tanto de esferas como de cilindros moviéndose en un fluido de densidad ρ_f .

En realidad las partículas no son completamente esféricas ó cilíndricas. Valier, et al (1971), utilizan los datos experimentales de Hoerner (1965), para partículas con las siguientes características: consideró esferas no lisas aquellas que tienen rugosidades de alturas mayores de 2×10^{-3} del diámetro de la esfera, esferas lisas las de rugosidades menores de 3×10^{-4} del diámetro típico de la esfera y cilindros con rugosidades de alturas mayores de 2×10^{-3} de la longitud típica del cilindro L . Utiliza siete densidades diferentes, que varían de 0.456 gr/cm^3 a 10.0 gr/cm^3 y diámetros que van de 0.002 cm a 200.0 cm . Estos cálculos fueron hechos para 50

partículas diferentes por medio de métodos numéricos, tomando como origen el nivel del mar.

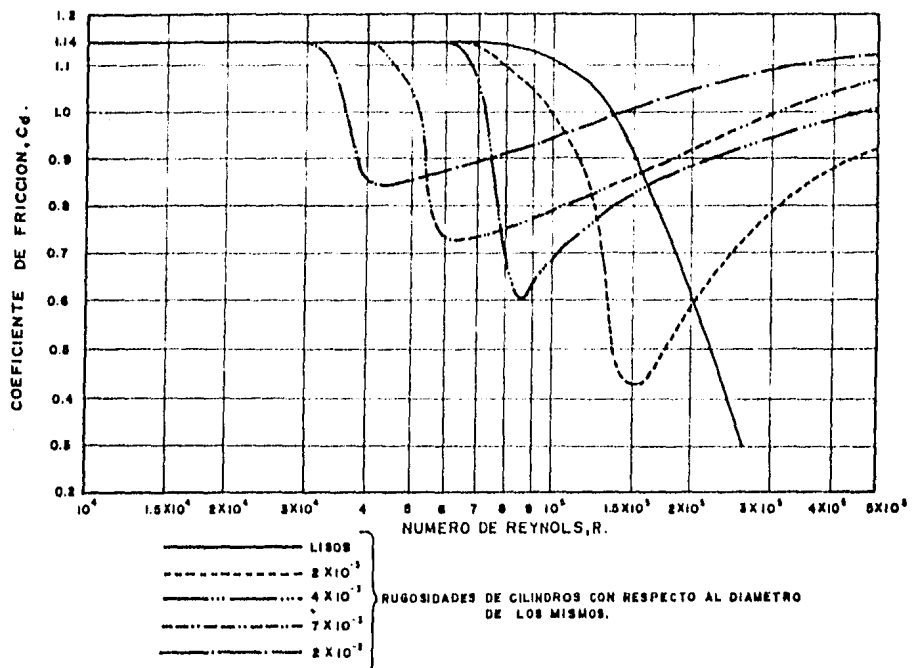
Tomando en cuenta las consideraciones anteriores, y de un análisis de los datos obtenidos por Valier, et al (1971), y de un análisis comparativo con datos experimentales, se muestra que el modelo que mas se apegue a lo real, es el de forma cilíndrica.

En la figura 3:1 se observa que al finalizar tanto la curva de las esferas como la de los cilindros, estas caen repentinamente, en esta parte se presenta la transición de la capa límite, ver por ejem. Daily, (1969), el número de Reynolds donde empieza a ocurrir esta transición, se llara número de Reynolds Crítico, R_c ; este número está fuertemente determinado por la rugosidad de la partícula. En la figura 3:4 se muestran algunas curvas para diferentes rugosidades, observándose en cada una, los diferentes números de reynolds Críticos.

Como los rangos de velocidad y dimensiones de las partículas arrojadas en una erupción tipo pliniana alcanzan números de reynolds mayores a los dados en las gráficas de la figura 3:4, o sea $R \leq 5 \times 10^6$, por lo que es necesario extender el intervalo de valores de C_d . Hoerner (1965) (citada por Daily, 1969), presenta datos que permiten hacer esta extensión. El autor mencionado nos presenta la función $C_f(R)$ para varias formas básicas de partículas en función del número de Mach, M , junto con factores de corrección para valores de M , arriba de 5 Mach, figura 3:5.

FIGURA 3:4

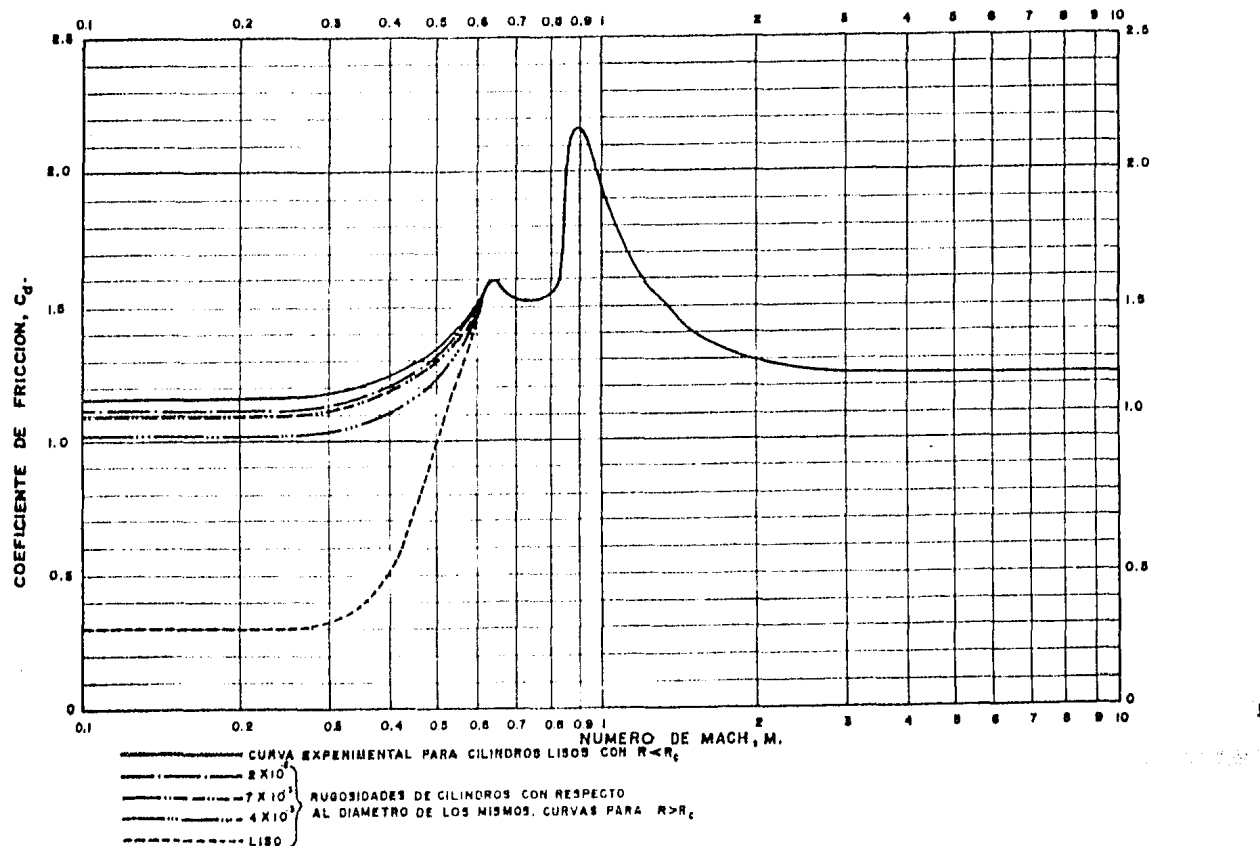
GRAFICA DEL COEFICIENTE DE FRICCIÓN, C_d ,
PARA CILINDROS CON RUGOSIDADES DIFERENTES, EN FUNCION
DEL NUMERO DE REYNOLS, PARA LA CAPA DE TRANSICION.



NOTA: ESTA GRAFICA FUE TOMADA DE DAILY (1969), Y COMPLEMENTADA CON OTROS AUTORES.

FIGURA 3:5

GRAFICA DEL COEFICIENTE DE FRICTION, C_d , PARA
CILINDROS CON RUGOSIDADES DIFERENTES, EN FUN
CION DEL NUMERO DE MACH, M , DADA POR HOER
NER (1965).



En nuestro caso que son cilindros circulares rectos - viajando con el eje perpendicular al flujo, los efectos de viscosidad debido a la rugosidad del cilindro se vuelve pequeña para números mayores de 0.7 Mach. Esto es mostrado experimentalmente, lo cual es mostrado en la figura 3:5, donde curvas para diferentes rugosidades se unen alrededor de un punto, llamado número crítico de Mach. Este número crítico depende de la forma del cuerpo.

También se observa experimentalmente, que a medida que la velocidad aumenta, el coeficiente de fricción alcanza un valor -máximo, lo cual ocurre para un número de Mach ligeramente mayor de -la unidad, a partir de este número los efectos de compresibilidad toman un papel muy importante; a este fenómeno se le conoce como, "efecto de compresibilidad sobre la resistencia al avance", (ver por ejem. J. A. Roberson, 1980). A medida que sigue aumentando el número de -Mach, el coeficiente de fricción disminuye, como se muestra en la figura 3:5.

Si la forma del cuerpo tiende a ser delgada y puntiaguada como un proyectil, los valores del coeficiente de fricción son menores a los dados en la figura 3:5, (ver por ejem. Daily, 1969).

Velocidad Terminal.

Un parámetro muy importante que nos proporciona información del comportamiento de los piroclastos en su trayectoria, es la velocidad terminal ó velocidad máxima que adquiere al ir cayendo, después de haber alcanzado su máxima altura. Sabemos que cuando un cuerpo se mueve con velocidad constante, su aceleración es cero ($\frac{dv}{dt} = 0$), por lo que para esferas, tenemos: de la ecuación (11),

$$0 = \frac{3 C_d \rho_f}{8 \pi a \rho_p} v^2 - g(y) , \quad \dots(13)$$

de donde,

$$(Velocidad Terminal) V_t = \left[\frac{8 \pi a \rho_p g(y)}{3 C_d \rho_f} \right]^{1/2} \quad \dots(14)$$

Análogamente para cilindros tenemos:

$$0 = \frac{C_d \rho_f}{8 \pi a \rho_p} v^2 - g(y) \quad \dots(15)$$

y por consiguiente:

$$V_t = \left[\frac{\pi a \rho_p g(y)}{C_d \rho_f} \right]^{1/2} \quad \dots(16)$$

Las ecuaciones (14) y (16) nos dan la velocidad terminal para esferas y cilindros respectivamente, moviéndose en un fluido de densidad ρ_f . Walther, et al (1971), presentan las curvas de velocidad terminal para partículas con diámetros, densidades y formas diferentes, figura 3:6.

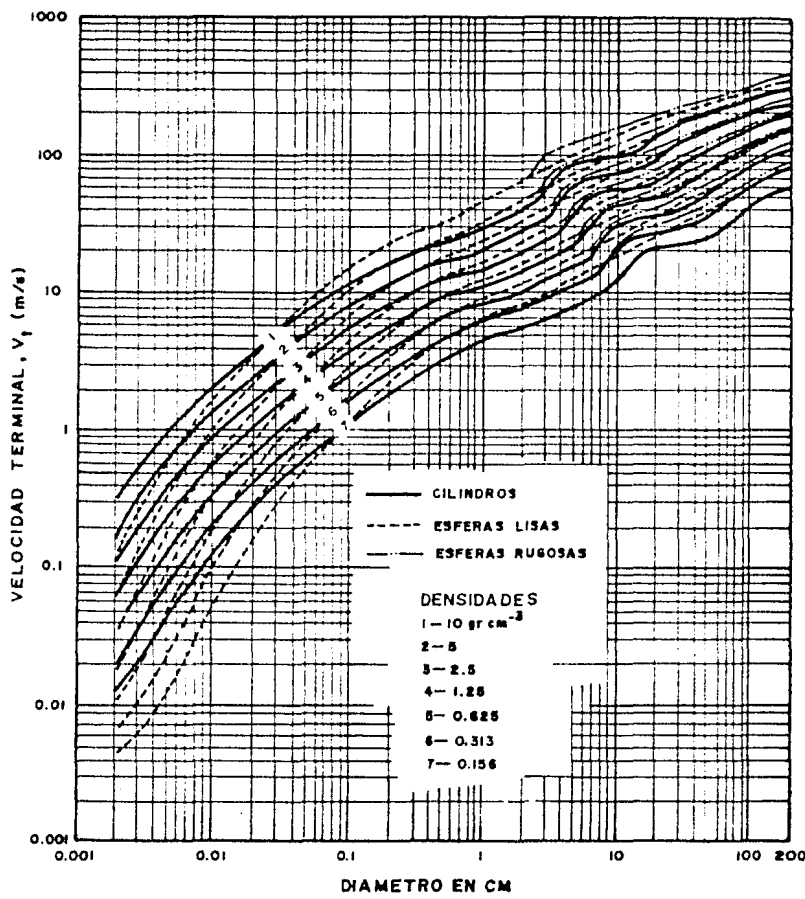


FIGURA 3:6

GRAFICA DE VELOCIDADES TERMINALES, V_t , EN FUNCION DEL DIAMETRO, PARA CILINDROS, ESFERAS LISAS Y RUGOSAS, CON DIFERENTES DENSIDADES. ESTAS CURVAS FUERON CALCULADAS EN COMPUTADORA, UTILIZANDO 50 PARTICULAS DE DIAMETRO DIFERENTE AL NIVEL DEL MAR.
 (WALKER ET AL, 1971)

Viscosidad y uraredad.

Las partículas en una erupción volcánica tipo pliniana alcanzan grandes alturas, por lo que es necesario tomar en cuenta la viscosidad del fluido, η , para diferentes alturas, así como las variaciones de la aceleración de la gravedad con la altura, $G(y)$.

Allen (1963) hace un análisis de la viscosidad. Haciendo las siguientes consideraciones: la temperatura al nivel del mar es de 288°K , y la densidad del aire de 0.00122 gr/cm^3 , se obtiene la relación:

$$\eta = 0.000172 \left[\frac{390^{\circ}}{T + 117^{\circ}} \right] \left[\frac{T}{273^{\circ}} \right]^{3/2} \quad \dots(17)$$

esta relación depende esencialmente de la altura y del lugar geográfico, ya que la temperatura en la atmósfera depende principalmente de estos dos parámetros.

El análisis que presenta Allen (1963), lo hace por medio de una tabla, donde da los resultados experimentales por kilómetro. De esta tabla se toma el intervalo relevante, el cual es dividido en tres partes, de 0 a 12 km, de 12 a 20 km y de 20 a 50 Km, que son las partes en que se puede establecer una variación promedio constante, en la primera parte se establece una variación promedio de $-6.5^{\circ}\text{K}/\text{km}$, o sea:

$$T = 288^{\circ}\text{K} - \left(\frac{0.5^{\circ}\text{K}}{\text{km}} \right) (y) \quad \dots(18)$$

donde 288°K es la temperatura al nivel del mar, y es la altura a la que se desea saber la temperatura. Entre los 12 y 20 Km se considera

La temperatura en forma constante, con un valor de :

$$T = 27^\circ K \quad \dots(19)$$

Para el intervalo de 20 a 50 Km se tiene una variación promedio de $+2^\circ K$ por Km, obteniendo la relación:

$$T = 177^\circ K + \left(\frac{2^\circ K}{Km} \right) Y(Y) \quad \dots(20)$$

Sustituyendo la ecuación (18) en la ecuación (17) se obtiene la relación:

$$\gamma = 0.000172 \left[\frac{390^\circ}{405^\circ - (116.5)(Y1)^0} \right] \left[\frac{288^\circ - (116.5)(Y1)^0}{273^\circ} \right]^{3/2} \quad \dots(21)$$

En forma similar sustituyendo la ecuación (19) en la ecuación (17) y simplificando se obtiene la relación:

$$\gamma = 1.423 \times 10^{-4} \quad \dots(22)$$

ahora sustituyendo la relación (20) en la ecuación (17) se obtiene:

$$\gamma = 0.000172 \left[\frac{390^\circ}{294^\circ + (12)(Y1)^0} \right] \left[\frac{177^\circ + (12)(Y1)^0}{273^\circ} \right]^{3/2} \quad \dots(23)$$

estas tres últimas ecuaciones nos dan la viscosidad en el intervalo de 0 a 50 km.

Sabemos por las leyes de la gravitación, que la aceleración debida a la gravedad de la Tierra, G , depende sólo de la altura y del origen de coordenadas de nuestro sistema, por lo que nuestra ecuación para determinar la aceleración G , a determinada altura es:

$$G(Y) = \frac{G_0}{(1 + (Y/E))^2} \quad \dots (24)$$

donde E es el radio de la Tierra, Y es la altura a la que se desea conocer la aceleración, y G_0 es la aceleración de la gravedad en el punto elegido como origen de nuestro sistema de coordenadas ($Y=0$).

$$G_0 = G_i - \frac{M}{E^2} \quad \dots (25)$$

G_i es la constante universal de gravitación (ver por ejem. Resnick and Halliday, 1970) y M es la masa de la Tierra.

Análisis Bidimensional de la Caída de Piroclastos.

Hasta ahora se ha hecho el análisis del movimiento de piroclastos en una sola dimensión, tomando el sentido perpendicular a la superficie de la Tierra, donde fué determinado aparte del movimiento de la partícula, la velocidad terminal de la misma así como también se examinaron algunos otros parámetros que intervienen en el movimiento de los piroclastos; algunos de ellos se utilizarán en esta y otras secciones posteriores.

En esta sección se generaliza el movimiento, considerándolo en un plano. Consideraremos las siguientes características en el problema: se manejará el intervalo de radios típicos de 0.06 a 100 cm, densidades que varían de 0.3 a 3.5 gr/cm³, velocidades de las partículas de 10 a 1000 m/seg, alcanzando alturas de 0 a 50 hm y no se incluirá la velocidad del aire, ya que si existe un viento considerable, su efecto consiste en sumarse vectorialmente. La inclusión del viento, nos trae como consecuencia un movimiento en tres dimensiones (x, y, z), por lo que nuestro movimiento de partículas bajo estas circunstancias, depende aparte de las consideraciones ya hechas, de la rapidez y dirección del viento, así como del tiempo de caída.

En nuestro caso, sea v la velocidad de la partícula al tiempo t , con una masa m en una posición (x, y) , moviéndose en una trayectoria inicial de inclinación θ respecto al eje X , con una fuerza de resistencia al movimiento $W(v)$. La partícula -

está sujeta a la aceleración de La gravedad $G(y)$. El origen de coordenadas se toma a nivel del mar, con el eje y positivo hacia arriba, como se muestra en la figura 3:7; no se toma en cuenta la curvatura de La Tierra. El movimiento está definido por las ecuaciones de posición siguientes:

$$\frac{d^2x}{dt^2} + \frac{dx}{dt} F(v) = 0 \quad , \quad \dots(26)$$

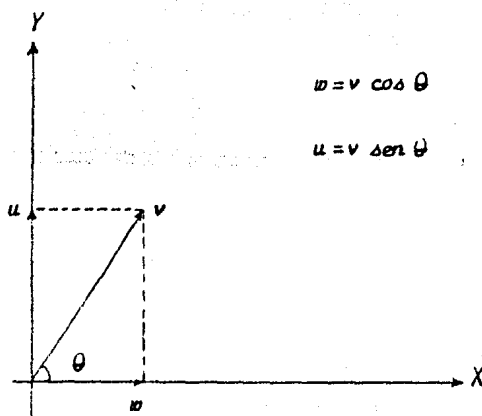
$$\frac{d^2y}{dt^2} + \frac{dy}{dt} F(v) + G = 0 \quad , \quad \dots(27)$$

donde:

$$F(v) = \frac{W(v)}{mv} \quad , \quad \dots(28)$$

tal que:

$$v = \sqrt{u^2 + w^2} \quad \dots(29)$$



$$w = v \cos \theta \quad \dots(30)$$

$$u = v \sin \theta \quad \dots(31)$$

Figura 3:7

Por lo que podemos reescribir nuestras ecuaciones de movimiento (26) y (27), como el conjunto de ecuaciones siguiente:

$$\frac{dx}{dt} = v \quad \dots(32)$$

$$\frac{dy}{dt} = u \quad \dots(33)$$

$$\frac{dv}{dt} = -w F(v) \quad \dots(34)$$

$$\frac{du}{dt} = -u F(v) - G \quad \dots(35)$$

Aquí $F(v)$ depende de $W(v)$, que a la vez depende de la forma de la partícula, así como de las propiedades de la atmósfera - por donde viaja la partícula, de la velocidad y de la viscosidad de la partícula. En este caso como en el unidimensional se introduce en las ecuaciones de movimiento, el coeficiente de fricción C_d , y el número de Reynolds κ , por lo que podemos escribir nuestra ecuación análoga a (3), de la siguiente forma:

$$W(v) = C_d \pi a^2 \rho_A(x, y) \frac{v^2}{2} \quad , \quad \dots(36)$$

donde a es el radio típico de la partícula, y $\rho_A(x, y)$ es la densidad del aire en la posición (x, y) , donde el coeficiente de fricción C_d , está en función del número de Reynolds κ , tal que:

$$\kappa = 2 a v \rho_A(x, y) / \mu(x, y) ; \quad \dots(37)$$

donde $\mu(x, y)$ es la viscosidad del aire en el punto (x, y) .

Sustituyendo la ecuación (28) en nuestras ecuaciones (32) y (33) de movimiento, tenemos:

$$\frac{dw}{dt} = -w \frac{W(v)}{mv} \quad \dots(38)$$

$$\frac{du}{dt} = -u \frac{W(v)}{mv} - G \quad \dots(39)$$

sustituyendo la ecuación (36) y el valor de v en la ecuación (38), obtenemos la relación simplificada siguiente:

$$\frac{dw}{dt} = -\frac{w\sqrt{u^2 + w^2}}{2m} [C_d \pi a^2 \rho_A(x, y)] \quad \dots(40)$$

en forma similar procedemos con la ecuación (39), donde se obtiene:

$$\frac{du}{dt} = -\frac{u\sqrt{u^2 + w^2}}{2m} [C_d \pi a^2 \rho_A(x, y)] - G \quad \dots(41)$$

Si suponemos que la partícula tiene forma cilíndrica, con longitud L y radio a , así como una densidad ρ_p ; sustituyendo el valor de la masa por esta densidad y el volumen de la partícula, se tiene:

$$\frac{dw}{dt} = -\frac{C_d \rho_A(x, y)}{\pi a \rho_p} w \sqrt{u^2 + w^2} \quad \dots(42)$$

$$\frac{du}{dt} = -\frac{C_d \rho_A(x, y)}{\pi a \rho_p} u \sqrt{u^2 + w^2} - G(y) \quad \dots(43)$$

En términos del número de Reynolds y de la viscosidad tenemos las ecuaciones siguientes en forma simplificada:

$$\frac{du}{dt} = - \frac{C_d R u}{2 a^2 \pi P_p} \quad \dots (44)$$

$$\frac{du}{dt} = - \frac{C_d R u}{2 a^2 \pi P_p} - G(u) \quad \dots (45)$$

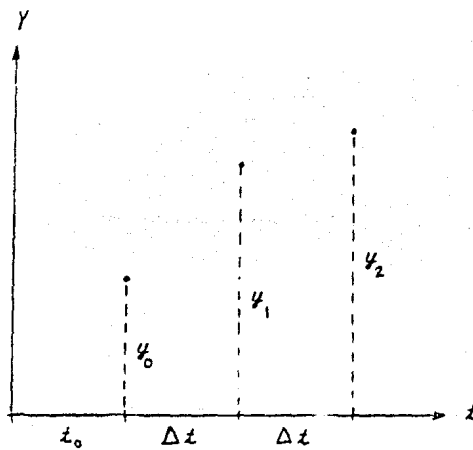
El valor de C_d estará determinado por el valor de R , de acuerdo con las gráficas de las figuras 3:1 y 3:4. Para velocidades muy grandes con $R \geq 5 \times 10^5$, se usa la gráfica de la figura 3:5, para poder determinar el valor de C_d . Algunos cálculos del valor de C_d son realizados en el apéndice A.

Solución de las ecuaciones bidimensionales por el método de Runge-Kutta.

Las ecuaciones de movimiento obtenidas en la sección anterior no tienen una solución analítica, ya que C_d no tiene una expresión analítica. Pero pueden ser resueltas por métodos de aproximación sucesiva, como el método de Runge-Kutta, (Southworth et al., 1965). Este método se deriva directamente de la serie de expansión de Taylor (ver por ejem. Huo, 1966), de la cual obtenemos la fórmula básica de este método:

$$y_{n+1} = y_n + \Delta y_n \quad , \quad n=0,1,2,\dots \quad \dots (46)$$

donde y_{n+1} nos va dando las soluciones de la ecuación diferencial que queremos resolver, donde para cada y corresponde un nuevo valor $t = t_0 + \Delta t$, como se muestra en la figura 3:8, con la condición inicial dada como (t_0, y_0) ; y para un nuevo valor y_1 , obtenemos que corresponde a un segundo valor de t , $t_0 + 2\Delta t$; y así -



(Figura 3:8)

de esta forma se van obteniendo los valores de "y" paso por paso.

Aplicando esto a nuestra ecuación (46) tenemos que:

$$\Delta y_n = \frac{\Delta t}{6} [h_0 + 2h_1 + 2h_2 + h_3] \quad \dots \dots (47)$$

donde:

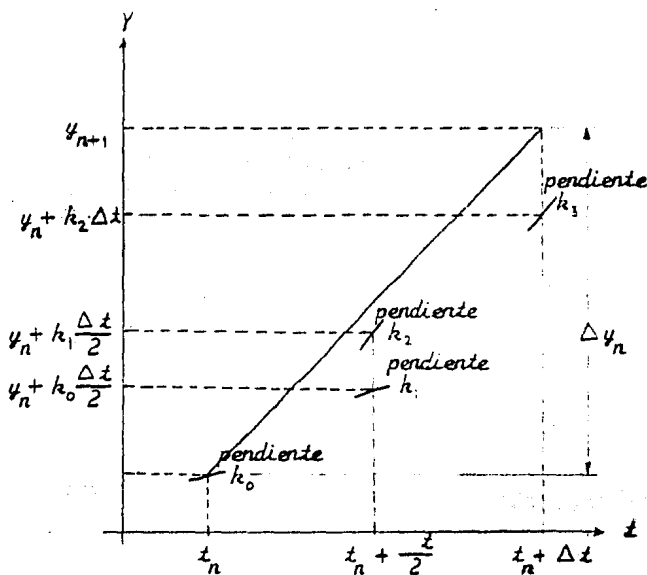
$$h_0 = f(t_n, y_n) \quad \dots(48.a)$$

$$h_1 = f\left(t_n + \frac{\Delta t}{2}, y_n + h_0 \frac{\Delta t}{2}\right) \quad \dots(48.b)$$

$$h_2 = f\left(t_n + \frac{\Delta t}{2}, y_n + h_1 \frac{\Delta t}{2}\right) \quad \dots(48.c)$$

$$h_3 = f(t_n + \Delta t, y_n + h_2 \Delta t) \quad \dots(48.d)$$

Los cuatro valores de h representan la pendiente en varios puntos y Δy_n el intervalo entre y_n y y_{n+1} , como se muestra en la gráfica de la figura 3:9.



(Figura 3:9)

Aplicando este método numérico a nuestro caso, donde tenemos dos ecuaciones diferenciales de segundo orden (26) y (27), que pueden ser escritas como el siguiente sistema de cuatro ecuaciones diferenciales de primer orden:

$$\frac{dx}{dt} = f_1(t, v, w) = u \quad \dots(49)$$

$$\frac{dw}{dt} = f_2(t, v, w) = -w F(v) \quad \dots(50)$$

$$\frac{dv}{dt} = g_1(t, v, u) = u \quad \dots(51)$$

$$\frac{du}{dt} = g_2(t, v, u) = -u F(v) - G \quad \dots(52)$$

Ahora si aplicamos el método de Runge-Kutta, para el caso de ecuaciones simultáneas, obtenemos las siguientes soluciones:

$$x_{n+1} = x_n + \frac{\Delta t}{6} (h_{11} + 2h_{21} + 2h_{31} + h_{41}) \quad \dots(53)$$

$$w_{n+1} = w_n + \frac{\Delta t}{6} (m_{11} + 2m_{21} + 2m_{31} + m_{41}) \quad \dots(54)$$

$$y_{n+1} = y_n + \frac{\Delta t}{6} (h_{12} + 2h_{22} + 2h_{32} + h_{42}) \quad \dots(55)$$

$$u_{n+1} = u_n + \frac{\Delta t}{6} (m_{12} + 2m_{22} + 2m_{32} + m_{42}) \quad \dots(56)$$

donde:

$$h_{11} = f(t_n, v_n, w_n) \quad \dots(57.a)$$

$$h_{21} = f\left(t_n + \frac{\Delta t}{2}, v_n + h_{11} \frac{\Delta t}{2}, w_n + m_{11} \frac{\Delta t}{2}\right) \quad \dots(57.b)$$

$$h_{31} = f\left(t_n + \frac{\Delta t}{2}, v_n + h_{21} \frac{\Delta t}{2}, w_n + m_{21} \frac{\Delta t}{2}\right) \quad \dots(57.c)$$

$$h_{41} = f\left(t_n + \Delta t, v_n + h_{31} \Delta t, w_n + m_{31} \Delta t\right) \quad \dots(57.d)$$

$$L_{11} = f_2(t_n, v_n, w_n) \quad ..(58.a)$$

$$L_{21} = f_2(t_n + \frac{\Delta t}{2}, v_n + k_{11} \frac{\Delta t}{2}, w_n + L_{11} \frac{\Delta t}{2}) \quad ..(58.b)$$

$$L_{31} = f_2(t_n + \frac{\Delta t}{2}, v_n + k_{21} \frac{\Delta t}{2}, w_n + L_{21} \frac{\Delta t}{2}) \quad ..(58.c)$$

$$L_{41} = f_2(t_n + \Delta t, v_n + k_{31} \Delta t, w_n + L_{31} \Delta t) \quad ..(58.d)$$

$$k_{12} = g_1(t_n, v_n, u_n) \quad(59.a)$$

$$k_{22} = g_1(t_n + \frac{\Delta t}{2}, v_n + k_{12} \frac{\Delta t}{2}, u_n + L_{12} \frac{\Delta t}{2}) \quad(59.b)$$

$$k_{32} = g_1(t_n + \frac{\Delta t}{2}, v_n + k_{22} \frac{\Delta t}{2}, u_n + L_{22} \frac{\Delta t}{2}) \quad(59.c)$$

$$k_{42} = g_1(t_n + \Delta t, v_n + k_{32} \Delta t, u_n + L_{32} \Delta t) \quad(59.d)$$

$$L_{12} = g_2(t_n, v_n, u_n) \quad ..(60.a)$$

$$L_{22} = g_2(t_n + \frac{\Delta t}{2}, v_n + k_{12} \frac{\Delta t}{2}, u_n + L_{12} \frac{\Delta t}{2}) \quad ..(60.b)$$

$$L_{32} = g_2(t_n + \frac{\Delta t}{2}, v_n + k_{22} \frac{\Delta t}{2}, u_n + L_{22} \frac{\Delta t}{2}) \quad ..(60.c)$$

$$L_{42} = g_2(t_n + \Delta t, v_n + k_{32} \Delta t, u_n + L_{32} \Delta t) \quad ..(60.d)$$

Para un incremento dado $\Delta t = \tau$, y con $F(v) = F(\sqrt{w^2 + u^2})$, obteneremos las pendientes buscadas:

$$k_{11} = w \tau \quad ..(61)$$

$$k_{12} = u \tau \quad ..(62)$$

$$L_{11} = -\omega F \left(\sqrt{\omega^2 + u^2} \right) \tau \quad ..(63)$$

$$L_{12} = -u F \left(\sqrt{\omega^2 + u^2} \right) \tau + G \tau \quad ..(64)$$

$$k_{21} = \left(\omega + \frac{L_{11}}{2} \right) \tau \quad ..(65)$$

$$k_{22} = \left(u + \frac{L_{12}}{2} \right) \tau \quad ..(66)$$

$$L_{21} = -\left(\omega + \frac{L_{11}}{2} \right) \left(F \left(\sqrt{\left(\omega + \frac{L_{11}}{2} \right)^2 + \left(u + \frac{L_{12}}{2} \right)^2} \right) \right) \tau \quad ..(67)$$

$$L_{22} = -\left(u + \frac{L_{12}}{2} \right) \left(F \left(\sqrt{\left(\omega + \frac{L_{11}}{2} \right)^2 + \left(u + \frac{L_{12}}{2} \right)^2} \right) \right) \tau - G \tau \quad ..(68)$$

$$k_{31} = \left(\omega + \frac{L_{21}}{2} \right) \tau \quad ..(69)$$

$$k_{32} = \left(u + \frac{L_{22}}{2} \right) \tau \quad ..(70)$$

$$L_{31} = -\left(\omega + \frac{L_{21}}{2} \right) \left(F \left(\sqrt{\left(\omega + \frac{L_{21}}{2} \right)^2 + \left(u + \frac{L_{22}}{2} \right)^2} \right) \right) \tau \quad ..(71)$$

$$L_{32} = -\left(u + \frac{L_{22}}{2} \right) \left(F \left(\sqrt{\left(\omega + \frac{L_{21}}{2} \right)^2 + \left(u + \frac{L_{22}}{2} \right)^2} \right) \right) \tau - G \tau \quad ..(72)$$

$$k_{41} = \left(\omega + L_{31} \right) \tau \quad ..(73)$$

$$k_{42} = \left(u + L_{32} \right) \tau \quad ..(74)$$

$$L_{41} = -\left(\omega + L_{31} \right) \left(F \left(\sqrt{\left(\omega + L_{31} \right)^2 + \left(u + L_{32} \right)^2} \right) \right) \tau \quad ..(75)$$

$$L_{42} = -\left(u + L_{32} \right) \left(F \left(\sqrt{\left(\omega + L_{31} \right)^2 + \left(u + L_{32} \right)^2} \right) \right) \tau - G \tau \quad ..(76)$$

Sustituyendo las variables originales en las soluciones anteriores, obtenemos las pendientes respectivas, dando así las ecuaciones (53), (54), (55) y (56). Para calcular

algunos puntos del movimiento de alguna partícula, es necesario además de fijar nuestras condiciones iniciales, como son su velocidad inicial y el ángulo de salida, sus características físicas y del medio.

Energía Cinética de los Piroclastos.

En la sección anterior se realizó el análisis de las soluciones de las ecuaciones de movimiento de piroclastos. Por medio de los resultados obtenidos en este análisis procedemos a establecer las ecuaciones de energía de los piroclastos en cada punto, o sea:

$$(Energía Cinética) \quad E_c = \frac{1}{2} m \left[\sqrt{w_{n+1}^2 + u_{n+1}^2} \right]^2 \quad .1771$$

donde m es la masa del piroclasto, w_{n+1} es la velocidad horizontal de la partícula a un tiempo t_{n+1} , después de haber salido del volcán, u_{n+1} es la velocidad vertical de la partícula al mismo tiempo t_{n+1} . Esta ecuación nos proporciona la energía cinética a cualquier tiempo deseado del movimiento de la partícula.

En forma similar podemos obtener la ecuación de energía potencial; basándonos en la altura que nos va dando los resultados del análisis de movimiento desarrollado en la sección anterior. Esta ecuación queda representada de la siguiente forma:

$$(Energía Potencial) \quad E_p = m g y_{n+1} \quad .1781$$

m es la masa de la partícula, g es la aceleración de la gravedad de la Tierra a la altura r_{n+1} .

Por medio de estas dos ecuaciones y los resultados de la sección anterior podemos calcular la energía en cualquier punto de la trayectoria, el cual está determinado por un tiempo prestablecido t_{n+1} .

CAPÍTULO IV

APLICACIONES DE LAS ECUACIONES DE MOVIMIENTO Y DEL MODELO DE WALKER ET AL, (1971)

En el capítulo anterior se desarrolló la teoría y el modelo propuesto por Walker et al (1971), para describir el movimiento de piroclastos arrojados en una erupción volcánica tipo pliniana. Haciendo uso de esta teoría y modelo, así como del método numérico - de Runge-Kutta, se hace el análisis del movimiento de piroclastos de varios tipos.

Desarrollo del análisis computacional.

Para desarrollar este análisis, primero estableceremos las características de nuestras partículas y las condiciones iniciales, así como nuestros límites de validez de este trabajo. Posteriormente se desarrolla un programa (UNIVA IV) que describe el modelo y las necesidades de estudio, (este programa es descrito en el apéndice B); el programa está diseñado para ajustar las curvas experimentales relevantes por medio de polinomios continuos por secciones, (apéndice A).

Las condiciones iniciales que intervienen en el análisis son:

Altura Inicial (tomada como base) Nivel del Mar
Densidad de aire (tomada como constante)	$1.22 \times 10^{-5} \text{ gr/cm}^3$
Radio de La Tierra	$6.378 \times 10^8 \text{ cm}$
aceleración de La Gravedad al Nivel del Mar	980 cm/sec^2

Temperatura al nivel del mar	288°K
Algodosidad de los cilindros	7×10^{-3} del diámetro del cil.
Velocidad del sonido (constante)	230 m/s

LOS INTERVALOS QUE SE MANEJAN EN ESTE ANALISIS SON:

Diámetros	$0.02 \leq D \leq 200 \text{ cm}$
Densidades	$0.3 \leq \rho_p \leq 3.5 \text{ gr/cm}^3$
Velocidades de Salida	$10 \leq V \leq 1000 \text{ m/s}$
Alturas	$0 \leq Y \leq 50\,000 \text{ m}$
Ángulos de Salida	$45^{\circ} \leq \theta \leq 87^{\circ}$
Números de Reynolds	$10^{-4} \leq R \leq 5 \times 10^5$
Número de Mach.....	$0.1 \leq M \leq 5 \text{ mach}$

En las tablas 4:1 a 4:8 se presenta la síntesis de resultados numéricos para varios piroclastos. Estos resultados son obtenidos directamente de la computadora (ver apéndice C), los cuales se basan en las condiciones iniciales e intervalos fijados anteriormente, así como en los apéndices A y B.

En la primera columna, se establece la altura inicial a la cual sale el piroclasto de la boca del volcán; en la 2^a, 3^a y 4^a las características del piroclasto; en la 5^a la velocidad del aire - (en este trabajo se consideró como cero); y en la 6^a la velocidad - con que sale el piroclasto. De la columna 7^a a la 9^a se muestran los resultados obtenidos. Los resultados de la columna 9^a son posteriormente graficados (gráficas 4:1 a 4:8).

SINTESIS DE RESULTADOS NUMERICOS
PARA VARIOS PIROCLASTOS

TABLA 4:1

ANGULO INICIAL DE SALIDA 45°								
ALTURA INICIAL DE SALIDA (m)	DENSIDAD DE LA PARTICULA (gr/cm ³)	DIAMETRO DE LA PARTICULA (cm)	LONGITUD DE LA PARTICULA (cm)	VELOCIDAD DEL AIRE (m/s)	VELOCIDAD DE SALIDA DE LA PARTICULA (m/s)	ALTURA MAXIMA RELATIVA ALCANZADA (m)	TIEMPO EN ALCANCER LA ALTURA MAXIMA (s)	ALCANCE MAX. ALTAURAMAXIMA A LA SALIDA (m)
1000	1.0	0.2	0.4	0.0	10	1	3.0	2.0
1000	1.0	0.2	0.4	0.0	30	2	3.8	4.3

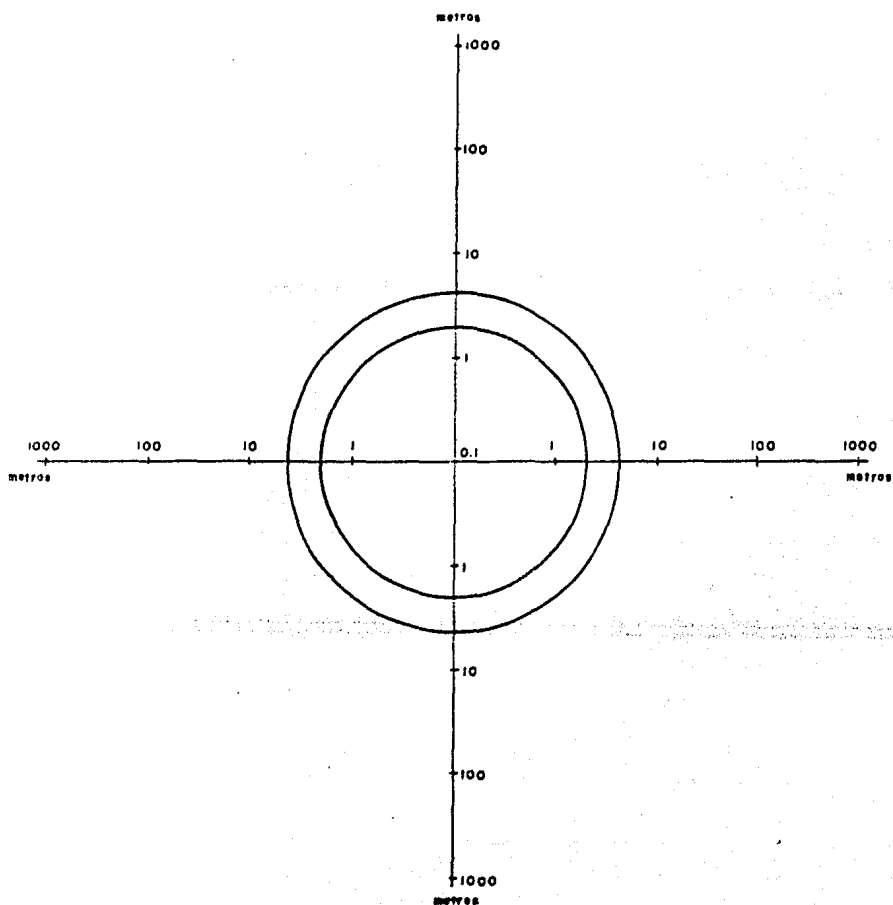


TABLA 4:2

ANGULO INICIAL DE SALIDA 45°								
ALTURA INICIAL DE LA SALIDA (m)	DENSIDAD DE LA PARTICULA (gr/cm ³)	DIAMETRO DE LA PARTICULA (cm)	LONGITUD DE LA PARTICULA (cm)	VELOCIDAD DEL AIRE (m/s)	VELOCIDAD DE SALIDA DE LA PARTICULA (m/s)	ALTURA MAXIMA RELATIVA ALCANZADA (m)	TIEMPO EN ALCANCIAZAR LA ALTURA MAXIMA (s)	ALCANCE MAX. RELATIVO A LA SALIDA (m)
1000	1.0	2.0	4.0	0.0	10	2	4.4	7.7
1300	1.0	2.0	4.0	0.0	30	10	6.8	27.6
1000	1.0	2.0	4.0	0.0	100	34	10.2	64.7

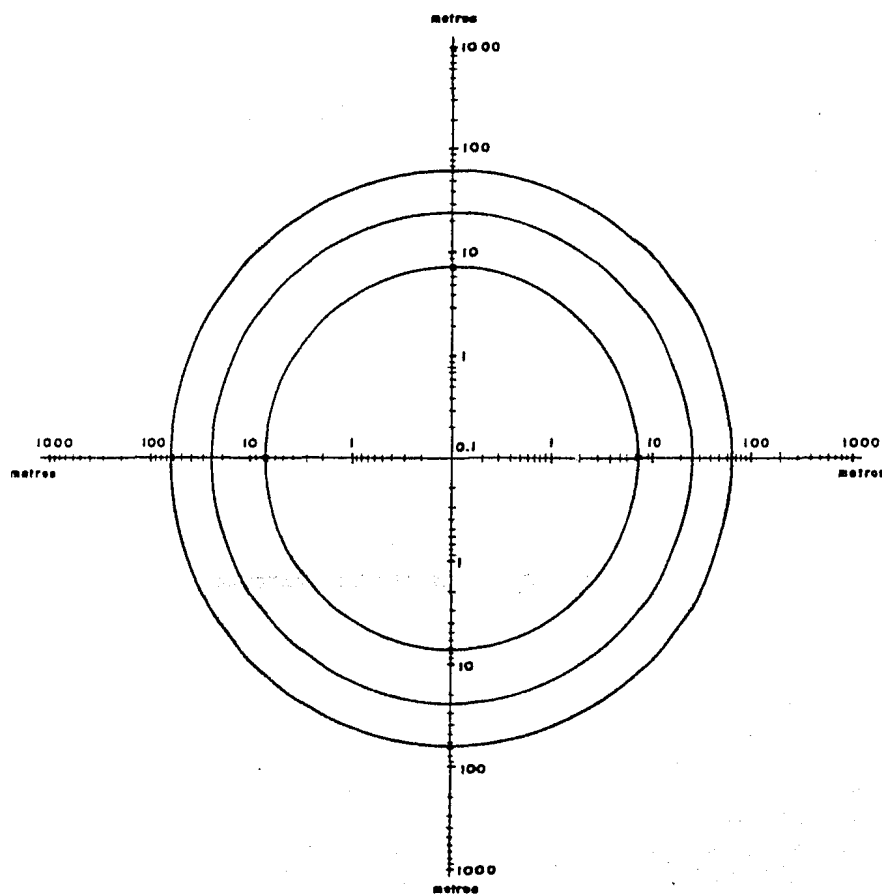


TABLA 4:3

ANGULO INICIAL DE SALIDA 45°									
ALTURA INICIAL DE SALIDA (m)	DENSIDAD DE LA PARTICULA (gr/cm³)	DIAMETRO DE LA PARTICULA (cm)	LONGITUD DE LA PARTICULA (cm)	VELOCIDAD DEL AIRE (m/s)	VELOCIDAD DE SALIDA DE LA PARTICULA (m/s)	ALTURA MAXIMA RELATIVA ALCANZADA (m)	TIEMPO EN ALCAZAR LA ALTURA MAXIMA (s)	ALCANCE MAX. RELATIVO ALCAZAR LA ALTURA MAXIMA A LA SALIDA (m)	
1000	1.0	20	40	0.0	10	2	3.6	10.2	
1000	1.0	20	40	0.0	30	18	6.6	72.3	
1000	1.0	20	40	0.0	100	105	8.5	287	
1000	1.0	20	40	0.0	300	226	10.5	468	
1000	1.0	20	40	0.0	600	316	11.5	580	
1000	1.0	20	40	0.0	1000	417	13.8	680	

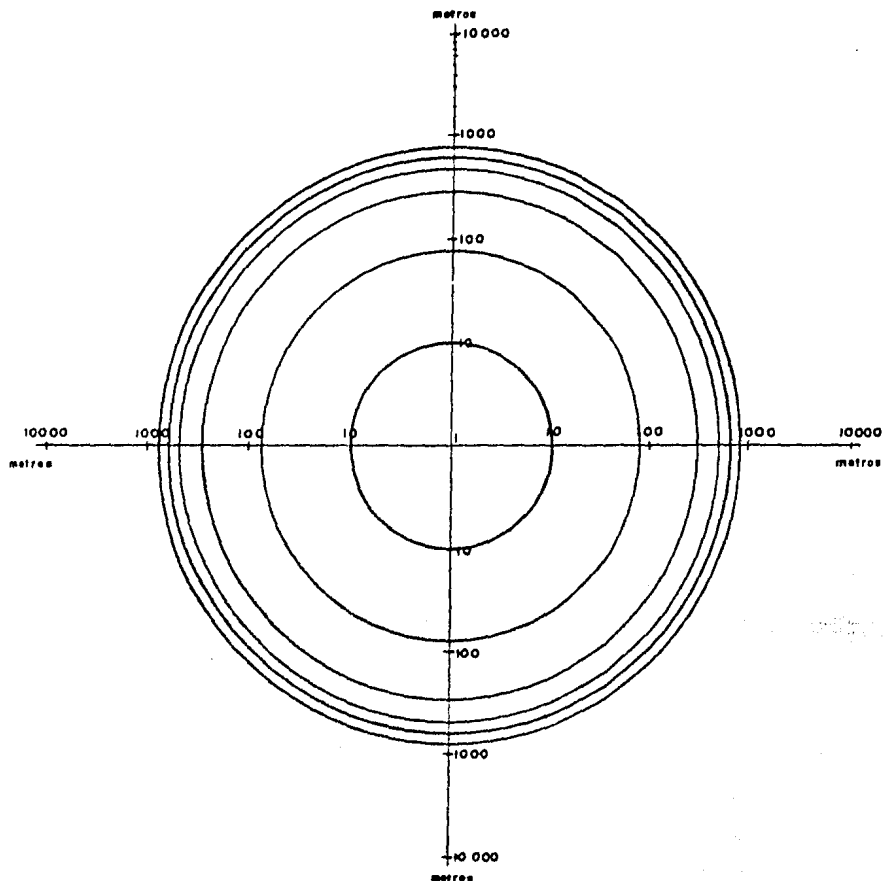


TABLA 4:4

ANGULO INICIAL DE SALIDA 45°									
ALTURA INICIAL DE SALIDA (m)	DENSIDAD DE LA PARTICULA (gr/cm ³)	DIAMETRO DE LA PARTICULA (cm)	LONGITUD DE LA PARTICULA (cm)	VELOCIDAD DEL AIRE (m/s)	VELOCIDAD DE SALIDA DE LA PARTICULA (m/s)	ALTURA MAXIMA RELATIVA ALCANZADA (m)	TIEMPO EN ALCAZAR LA ALTURA MAXIMA (s)	ALCANCE MAX. RELATIVO A LA SALIDA (m)	
1000	1.0	200	400	0.0	10	2	7.2	10.3	
1000	1.0	200	400	0.0	30	20	7.2	89.4	
1000	1.0	200	400	0.0	100	208	13.0	774	
1000	1.0	200	400	0.0	300	855	14.4	2286	
1000	1.0	200	400	0.0	600	1667	15.0	3473	
1000	1.0	200	400	0.0	1000	2377	16.0	4406	

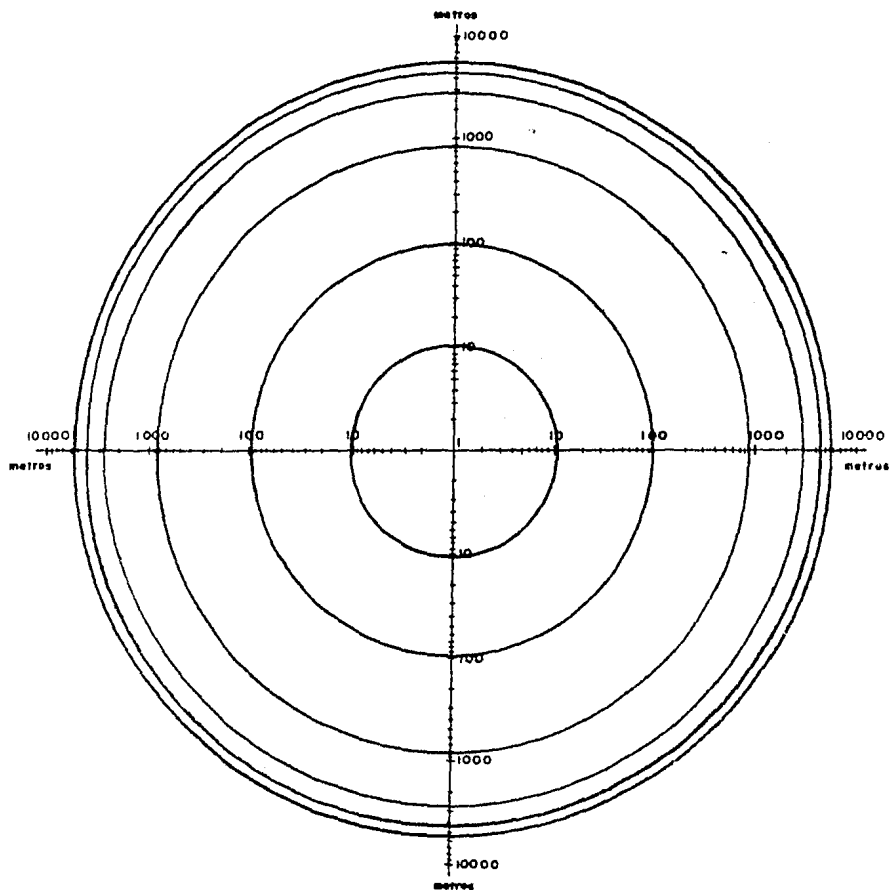


TABLA 4:5

ANGULO INICIAL DE SALIDA 45°								
ALTURA INICIAL DE SALIDA (m)	DENSIDAD DE LA PARTICULA (gr/cm³)	DIAMETRO DE LA PARTICULA (cm)	LONGITUD DE LA PARTICULA (cm)	VELOCIDAD DEL AIRE (m/s)	VELOCIDAD DE SALIDA DE LA PARTICULA (m/s)	ALTURA MAXIMA RELATIVA ALCANZADA (m)	TIEMPO EN ALCANZAR LA ALTURA MAXIMA (s)	ALCANCE MAX. RELATIVO A LA SALIDA (m)
1000	2.3	0.2	0.4	0.0	10	1	3.6	3.6
1000	2.5	0.2	0.4	0.0	30	5	4.6	10.4

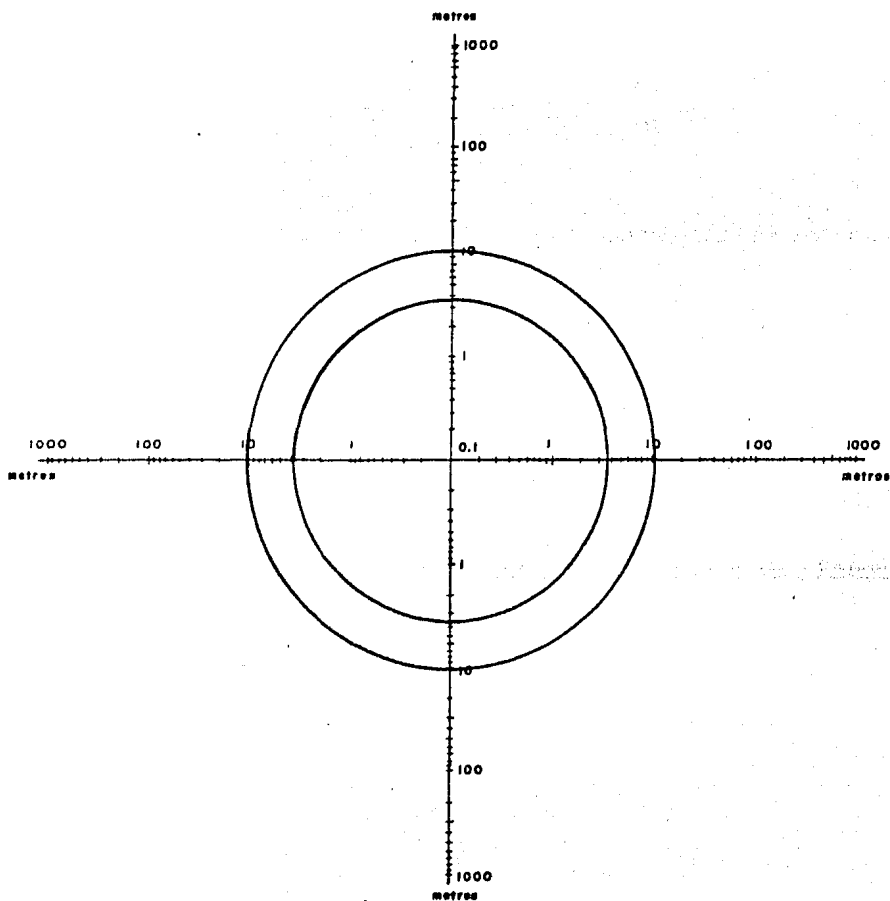


TABLA 4:6

ANGULO INICIAL DE SALIDA 45°								
VELOCIDAD DE SALIDA (m/s)	DENSIDAD DE LA PARTICULA (gr/cm³)	DIAMETRO DE LA PARTICULA (cm)	LONGITUD DE LA PARTICULA (cm)	VELOCIDAD DEL AIRE (m/s)	VELOCIDAD DE SALIDA DE LA PARTICULA (m/s)	ALTURA MAXIMA RELATIVA ALCANZADA (m)	TIEMPO EN ALCANZAR LA ALTURA MAXIMA (s)	ALCANCE MAX RELATIVO A LA SALIDA (m)
10	2.5	2.0	4.0	0.0	10	2	6.9	9.1
10	2.5	2.0	4.0	0.0	80	14	8.2	44.8
10	2.5	2.0	4.0	0.0	100	61	9.9	130.7
10	2.5	2.0	4.0	0.0	300	116	12.0	192.9
10	2.5	2.0	4.0	0.0	600	144	19.4	267

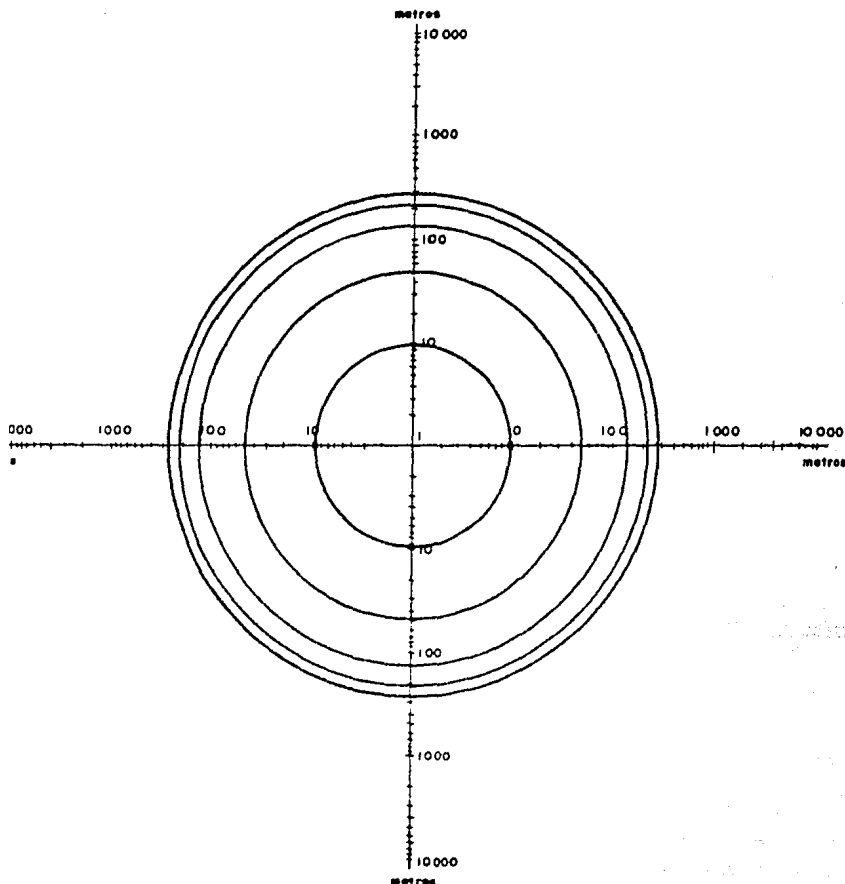


TABLA 4:7

ANGULO INICIAL DE SALIDA 45°

ALTURA ORIGENAL DE SALIDA (m)	DENSIDAD DE LA PARTICULA (gr/cm ³)	DIAMETRO DE LA PARTICULA (cm)	LONGITUD DE LA PARTICULA (cm)	VELOCIDAD DEL AIRE (m/s)	VELOCIDAD DE SALIDA DE LA PARTICULA (m/s)	ALTURA MAXIMA RELATIVA ALCANZADA (m)	TIEMPO EN ALCANZAR LA ALTURA MAXIMA (s)	ALCANCE MAX. RELATIVO A LA SALIDA (m)
100	2.5	20	40	0.0	10	2	3.6	10.3
200	2.5	20	40	0.0	30	20	6.9	82.9
300	2.5	20	40	0.0	100	152	10.8	475
400	2.5	20	40	0.0	300	398	14.0	908
1000	2.5	20	40	0.0	800	848	16.5	1235
1000	2.5	20	40	0.0	1000	837	16.0	1457

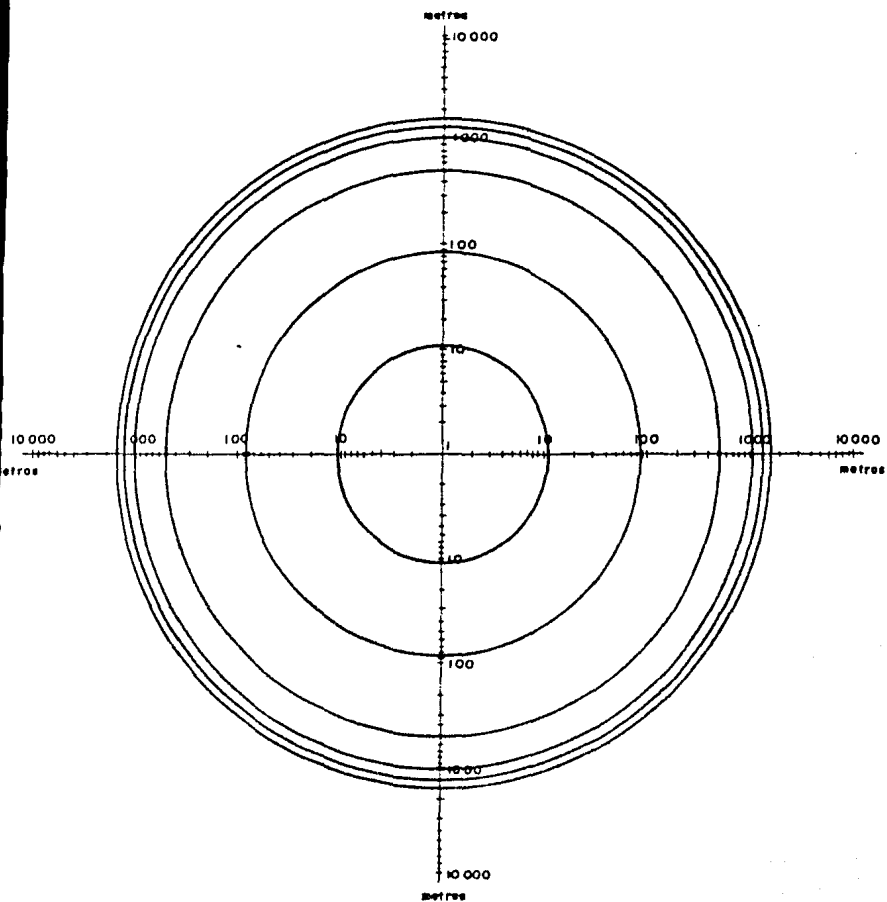
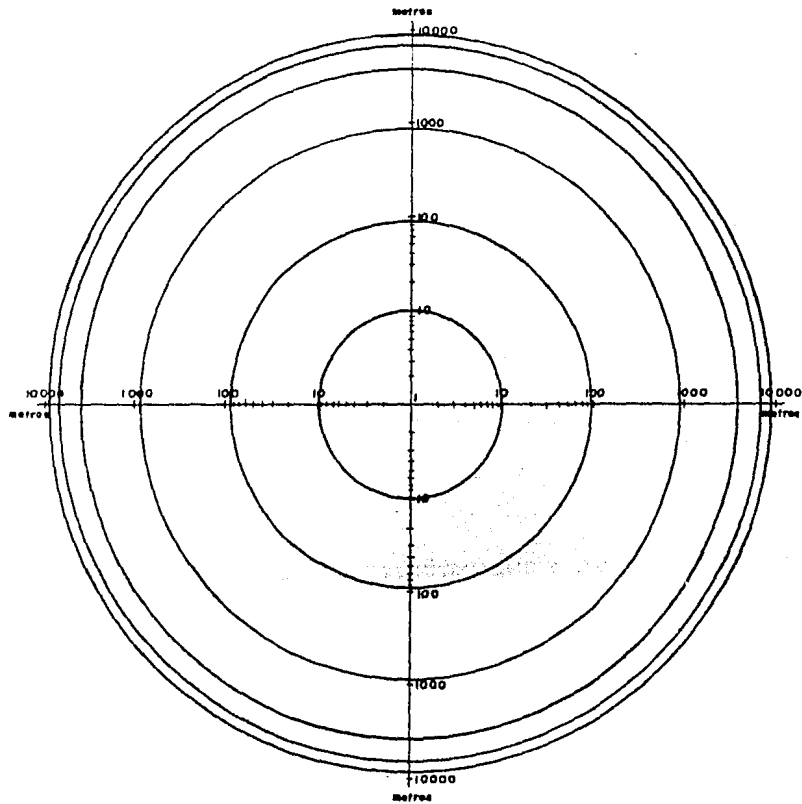


TABLA 4:8

ANGULO INICIAL DE SALIDA 45°									
ALTURA INICIAL DE SALIDA (m)	DENSIDAD DE LA PARTICULA (gr/cm ³)	DIAMETRO DE LA PARTICULA (cm)	LARGOUD DE LA PARTICULA (cm)	VELOCIDAD DEL AIRE (m/s)	VELOCIDAD DE SALIDA DE LA PARTICULA (m/s)	ALTURA MAXIMA RELATIVA ALCANZADA (m)	TIEMPO EN ALCANCER LA ALTURA MAXIMA (s)	ALCANCE MAX. RELATIVO A LA SALIDA (m)	
000	2.5	200	400	0.0	10	2	7.2	10.4	
100	2.5	200	400	0.0	30	21	7.2	92.6	
200	2.5	200	400	0.0	100	229	13.6	885	
300	2.5	200	400	0.0	300	1263	17.6	3716	
400	2.5	200	400	0.0	600	2944	20.0	6708	
1000	2.5	200	400	0.0	1000	4859	22.0	8895	



Los resultados mostrados anteriormente en forma de tablas y gráficas nos dan los alcances máximos relativos a 145° , para piroclastos con una velocidad determinada de salida. Estos resultados son obtenidos bajo las condiciones mencionadas; ahora se hace una comparación de los resultados obtenidos por Wilson (1972) con los obtenidos en este trabajo. Los resultados que muestra Wilson son con una rugosidad mayor de 2×10^{-3} del diámetro típico del cilindro (rugosidad no especificada exactamente). Esta comparación de resultados es mostrada en la tabla 4:9.

Tabla 4:9

ANGULO DE SALIDA 45°					
Densidad (gr/cm ³)	Diámetro (cm)	Velocidad de salida (m/s)	Alcance con rugosidad de 7×10^{-3}	Alcance dado por Wilson (m)	Diferencia de alcances (m)
1	0.2	10	2.0	2.8	-0.8
1	0.2	30	4.3	5.1	-0.8
1	2.0	10	7.7	7.1	0.6
1	2.0	30	27.6	21.8	5.8
1	2.0	100	64.7	40.2	24.5
1	20	10	10.2	9.8	0.4
1	20	30	72.3	73.7	-1.4
1	20	100	287	251	35.9
1	20	300	468	415.0	53.0
1	20	600	580	493	87
1	20	1000	680	564	116
1	200	10	10.3	10.1	0.2
1	200	30	89.4	88.8	0.6
1	200	100	774	761	13
1	200	300	2266	2361	-95

Continuación Tabla 4:9

ÁNGULO DE SALIDA 45°					
Densidad (gr/cm ³)	Diámetro (cm)	velocidad de salida (m/s)	Alcance con rugosidad de 7×10^{-3}	Alcance dado por Wilson (m)	Diferencia de Alcances (m)
1	200	600	3473	3345	128
1	200	1000	4406	4294	112
2.5	0.2	10	3.6	4.7	-1.1
2.5	0.2	30	10.4	10.7	-0.3
2.5	2.0	10	9.1	8.6	0.5
2.5	2.0	30	44.8	37.3	7.5
2.5	2.0	100	130.7	54.6	76.1
2.5	2.0	300	192.9	129	63.9
2.5	20	10	10.3	10.0	0.3
2.5	20	30	82.9	83.2	-0.3
2.5	20	100	473	414.3	58.7
2.5	20	300	903	827	76
2.5	20	600	1235	1032	203
2.5	20	1000	1457	1219	238
2.5	200	10	10.4	10.1	0.3
2.5	200	30	92.6	90.6	2.0
2.5	200	100	885	894	-9.0
2.5	200	300	3716	3903	-187
2.5	200	600	6708	6542	166
2.5	200	1000	8995	9462	-467

En la tabla 4:9 se muestra la diferencia entre alcances máximos relativos, los dados por Wilson (1972) y los calculados en este trabajo, esta diferencia se debe principalmente a que varios de los parámetros usados en este trabajo no son iguales a los usados por Wilson, la rugosidad del cilindro, los polinomios de aproximación de las curvas experimentales. Como se observa en la tabla 4:9, las diferencias son relativamente pequeñas si tomamos en cuenta las distancias que se

manejor en cada uno de los casos.

Los parámetros son elegidos de tal manera, que se pueda hacer una comparación de los resultados obtenidos en este trabajo, con los obtenidos por Wilson (1972). El programa esca diseñado para aceptar un gran número de parámetros para los piroclastos, con muy - variadas características, así como un amplio rango de velocidades de salida.

La velocidad del aire en este análisis se toma como - cero, pero se le puede dar un valor y una dirección, ya que el programa puede trabajar en un momento dado con estos parámetros, (ver apén dice 6). Esto lo hace considerando que la velocidad del aire viaja - paralelo al eje de las X's de nuestro sistema. Con la inclusión de - estos parámetros es afectado nuestro alcance y dirección, dependien- do de la magnitud y dirección del viento.

CAPITULO V

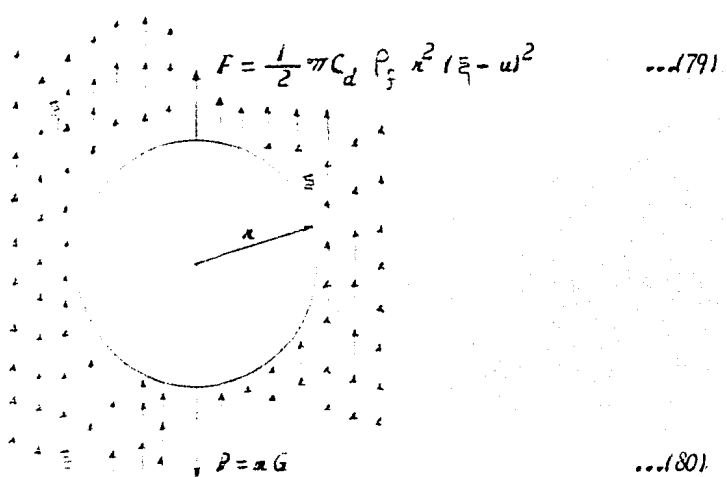
ANALISIS DE LOS PIROCLASTOS EN LA COLUMNA ERUPTIVA

En los capítulos III y IV se describe el movimiento de piroclastos en la atmósfera y se obtienen resultados para piroclastos de dimensiones típicas, respectivamente. La mezcla de gas y sólidos - que son expulsados en una erupción volcánica, da origen a una columna eruptiva, en la que los sólidos no pueden tratarse de manera independiente; dentro de esta columna la mezcla de gas y sólidos actúa de una manera conjunta, fuera de la columna las partículas actúan de acuerdo al modelo presentado en capítulos anteriores, y dentro de ella su movimiento es descrito por el modelo que se expone en este capítulo.

Estratificación de piroclastos en la columna.

La estratificación de piroclastos se hace de acuerdo con el lugar que ocupa dentro de la columna eruptiva, así como de la posición final del piroclasto respecto al eje central de la actividad del volcán; esta estratificación se hace conforme a su tamaño y densidad. El lugar que ocupa cada piroclasto está determinado por las fuerzas que actúan sobre cada uno.

Si consideramos una partícula de radio típico r , densidad ρ_p y masa m ; moviéndose a una determinada altura de la columna eruptiva, con rapidez ascendente u ; donde el gas que se encuentra alrededor de la misma, tiene una densidad ρ_g y una rapidez \bar{v} . Si la partícula tiene la forma esférica, observaremos que las fuerzas que actúan sobre ella son, figura 5.11:



(Figura 5:1)

donde C_d es el coeficiente de fricción que fué descrito en secciones anteriores, y mG es el peso de la partícula. Entonces la ecuación de la fuerza resultante es:

$$F_{\text{total}} = \frac{1}{2} \pi C_d \rho r^2 (v - u)^2 - mG \quad \dots (81)$$

el valor de la aceleración G debida a la gravedad de la Tierra es - una función de la altura y esta determinada por la ecuación (24). Si $F_{\text{total}} = \frac{du}{dt}$, la ecuación de movimiento es:

$$\frac{du}{dt} = \frac{1}{2\pi} \pi C_d \rho r^2 (v - u)^2 - G \quad \dots (82)$$

ahora, si se sustituye la densidad de la partícula ó esfera, y su volumen en la ecuación (82), se tiene la relación:

$$\frac{du}{dt} = \frac{3 \rho_f C_d (\xi - u)^2}{8 \rho_p r} - g \quad \dots (83)$$

esta ecuación nos muestra que la aceleración de la partícula varía en forma inversa, al producto del radio por la densidad de la partícula; C_d está en función del número de Reynolds, ρ_f se considera constante a determinada posición de la columna eruptiva. La estratificación de los piroclastos, dentro de la columna eruptiva, se puede hacer considerando que la partícula a alcanzado la máxima altura, o sea $u=0$, por lo que la aceleración también es cero; sustituyendo en la ecuación - (83), se obtiene:

$$\rho_p r = \frac{3 \rho_f C_d \xi^2}{8 G} \quad \dots (84)$$

en esta ecuación se observa que el producto $\rho_f \xi^2$, está en función de la altura, ya que ξ disminuye conforme se aleja la partícula de la salida del volcán, hasta llegar a cero, y ρ_f depende principalmente de la temperatura, que a la vez depende de la altura. La componente vertical de la velocidad del gas (ξ), también depende de la posición que tiene con respecto al eje central; se observa experimentalmente que - esta velocidad disminuye conforme se aleja la partícula de este eje.

Las ecuaciones obtenidas en esta sección y las condiciones dadas anteriormente, determinan la distribución de los piroclastos en la columna, notándose una expansión de estos a alturas mayores, aumentando el radio de la columna con la altura, debido al contorno del aire circundante y a la disminución de la presión at-

mosférica con la altura. Otro parámetro que determina la posición de piroclastos, es la dirección inicial de salida.

Para conocer la altura máxima, que alcanza una partícula en la columna, se sustituye el valor de G de la ecuación (24) en la ecuación (64), o sea:

$$G = \frac{G_0}{(1 + \frac{4}{E})^2} = \frac{3 C_d \rho_f \bar{\varepsilon}^2}{8 \rho_p x} , \quad \dots (85)$$

resolviendo para la altura y , se tiene:

$$y_{\text{esf.}} = - E^{\pm} \sqrt{E^2 \frac{8 \rho_p x G_0}{3 \rho_f C_d \bar{\varepsilon}^2}} \quad \dots (86)$$

Se considera ahora que la partícula tiene la forma cilíndrica; entonces, en forma similar encontramos las ecuaciones análogas a las obtenidas anteriormente. Sustituyendo la masa del cilindro por $m = \rho_p L$, se obtiene:

$$\frac{du}{dt} = \frac{C_d (1 - u)^2}{2 \rho_p L} - G , \quad \dots (87)$$

así como, $\frac{du}{dt} = 0$, tenemos:

$$\rho_p L = \frac{C_d \rho_f \bar{\varepsilon}^2}{2 G} , \quad \dots (88)$$

Por lo que la altura que alcanzan las partículas de esta forma, es:

$$\gamma_{\text{cyl.}} = -E \pm \sqrt{E^2 - \frac{G_0 \rho_p L}{C_d \rho_f \xi_{\gamma_0}^2}} \quad \dots (89)$$

Las ecuaciones y los análisis anteriores, hacen posible una estratificación de los piroclastos en la columna eruptiva; - estratificación que es ciertamente observada en la columna. De las ecuaciones (86) y (89) se observa, que piroclastos con características similares se localizan a alturas similares, a un determinado desarrollo de la erupción. O sea que ciertas regiones de la columna eruptiva, están pobladas por piroclastos con características semejantes.

Cálculo de las Velocidades de Salida.

En la sección anterior se describió la estratificación de piroclastos en la columna eruptiva, donde se observó, que el producto $\rho_p r$ ó $\rho_p L$ es un factor determinante para establecer la posición del piroclasto, otro parámetro importante es la velocidad de salida del piroclasto, este parámetro se puede establecer a partir de las ecuaciones de la sección anterior, las cuales se reescriben como:

$$(\text{esferas}) \quad \xi_{\gamma_0}^2 = \frac{8 G r_0 \rho_{p,0}}{3 C_d} \quad \dots (90)$$

$$(\text{cilindros}) \quad \xi_{\gamma_0}^2 = \frac{2 G L_0 \rho_{p,0}}{C_d \rho_{f,0}} \quad \dots (91)$$

donde $r_0 P_{p,0}$ y $L_0 P_{p,0}$ son los valores límites fijados a una distancia cero de la salida del volcán, dentro de un rango de 1 km de distancia, \tilde{v}_0 es la velocidad del gas de salida, C_d es el coeficiente de fricción, que tiene un valor de alrededor de 1 unidad, si \tilde{v}_0 es mucho menor que la rapidez del sonido, la rapidez del sonido en el gas es de 230 m/s, considerando vapor a 1200 K; al llegar \tilde{v}_0 a la rapidez del sonido, C_d se eleva alrededor de 2, (ver figura 3:5), $P_{f,0}$ es la densidad efectiva del gas, o sea la densidad total de pequeños piroclastos que se mueven junto con el gas de salida, medida en kg/m³. El porcentaje probable de polvo y gas, puede consistir de un 25% de polvo y 75% de gas por unidad de peso, para vapor a 1200 K en este caso la densidad efectiva del gas puede ser de 0.25 kg/m³, Wilson (1976).

Colapso de La Columna de una Erupción Volcánica.

Cuando la actividad volcánica se torna muy explosiva, de tal forma que las explosiones son muy frecuentes, entonces el material expulsado en una o varias explosiones es tanto, que el peso de este material es mayor que la fuerza que produce la presión de la cámara magmática, precipitándose este material sobre la salida del volcán, taponándola abruptamente (colapso). También puede ocurrir que la cámara magmática deje de suministrar material repentinamente, precipitándose entonces hacia la salida el material que anteriormente había sido expulsado, cerrando la salida. Cuando el chorro es continuo, la columna eruptiva alcanza grandes alturas, entrando en una at-

más era relativamente fría, ocurriendo una rápida disminución de la energía cinética del material expulsado, y aumentando la energía potencial (fenómeno que es descrito en esta sección), de tal manera, que en ocasiones ocurre el colapso. A continuación se hace el análisis de las condiciones para que se dé el colapso de la columna, cuando el chorro es continuo.

Al estarse elevando la columna eruptiva, el aire atmosférico que circunda a la columna, penetra en ella por los lados, mezclándose con los piroclastos y gas, que viajan en forma turbulenta. El aire atmosférico que entra a la columna, es calentado por el material que fué expulsado de la cámara magmática, al hacer contacto con él, o por radiación térmica; efecto que ocasiona una expansión en la columna eruptiva, disminuyendo en consecuencia la densidad efectiva. Si el material de la columna contiene gran cantidad de agua, se produce una convección dentro de la columna, que posteriormente forma en la parte alta de la columna una región extendida. La densidad de la columna sigue decreciendo conforme se eleva la mezcla, debido a que los piroclastos mayores caen rápidamente, así como también por el aumento del radio de la columna con la altura y a los cambios de presión tanto atmosférico, como del mismo gas.

Se considera que la corriente del flujo, está formada por gas y piroclastos, los cuales emergen desde una chimenea de radio b_0 , con una velocidad sobre su eje central \bar{v}_0 , con una densidad inicial del gas P_{g0} , y una densidad inicial de la masa total de gas y piroclastos $\bar{\rho}_0$, a una temperatura inicial de la mezcla θ_0 .

Si el magma contiene $n\%$ por unidad de peso de volátiles, entonces β_0 está en función de $P_{f,0}$ como:

$$\beta_0 = 100 \cdot \left(\frac{P_{f,0}}{n} \right) \quad \dots (92)$$

Conforme el flujo se va alejando de la salida, entra en contacto con el aire atmosférico, el cual enfriá la mezcla, tomando la temperatura un valor θ a una altura h sobre la salida, donde la columna tiene un radio b , densidad de la columna β , densidad de la mezcla aire-gas y una velocidad hacia arriba en el eje central de ξ ; la densidad fuera del chorro (aire atmosférico) es ∞ . El modelo de Prandtl (1949) (citado por Wilson, 1976), considera un chorro permanente gaseoso, donde $\theta = \theta_0$ y $\beta = \beta_0 = \infty$, también desprecia la aceleración debida a gravedad y la variación de ω con la altura, encontrando que:

$$b = b_0 + \frac{h}{8} \quad \dots (93)$$

$$\xi = \xi_0 \left[\frac{b_0}{b_0 + \frac{h}{8}} \right] \quad \dots (94)$$

La desaceleración en la parte central del flujo está dada por:

$$\frac{d\xi}{dx} = \xi \frac{d\xi}{dh} = -\frac{\xi^2}{8b} \quad \dots (95)$$

Prandtl (1949), derivó la ecuación (94), considerando que las fuer-

zos de corte actúan sobre un elemento en el centro del flujo debiendo a la incorporación del gas que rodea al elemento; modificando un poco el modelo de Prandtl, se introduce la gravedad, y se obtiene:

$$\frac{d\tilde{\xi}}{dh} = - \frac{\tilde{\xi}^2}{8b} - G(1 - \frac{\infty}{\beta}) \quad \dots (96)$$

Entonces la ecuación de movimiento para todo el flujo, incluyendo el aire agregado, se escribe como sigue:

$$\frac{d\tilde{\xi}}{dh} = - \frac{\left(\frac{1}{2}\tilde{\xi}^2 + Gh\right)}{b^2\beta} - \frac{d}{dh}(b^2\beta) - \frac{G}{q^2}(1 - \frac{\infty}{\beta}) \quad \dots (97)$$

donde la segunda parte del primer término representa el aire añadido al flujo, incrementando la masa de la columna de erupción, y el factor q es la proporción de la velocidad promedio de subida, a través del chorro en la parte central, observándose que q siempre será menor de la unidad.

La densidad de la masa de la columna β , se obtiene considerando, que a cualquier altura h , el gas inicialmente ocupaba un volumen πb_0^2 por unidad de altura durante la erupción, con una temperatura θ_0 , posteriormente ocupa un volumen $\pi b_i^2 = \pi b_0^2 (\frac{\theta}{\theta_0})(\frac{P_0}{P})$ por unidad de altura, donde P es la presión atmosférica a la altura h . El volumen restante es del aire agregado, también a una temperatura θ , considerando las reglas, resultando

una masa igual a $R_g(b^2 - b_0^2)/\kappa_a b_0^2$ veces la del gas volcánico, - donde R_g y κ_a son las constantes del gas y aire respectivamente. Obteniéndose la densidad de la masa, que es igual a la masa total entre el volumen total:

$$\beta = \beta_0 \frac{b_0^2}{b^2} \left[1 + \frac{n}{100} - \frac{R_g}{\kappa_a} \left(\frac{b^2}{b_0^2} \frac{\theta_0}{\theta} \frac{P}{P_0} - 1 \right) \right] \quad \dots 198)$$

La temperatura θ , a la altura h , puede encontrarse mediante la ecuación de distribución de calor en la atmósfera dada por Allen (1963), en la cual se considera que el aire incorporado tiene la misma temperatura θ_0 , a cualquier altura. El equilibrio térmico puede mantenerse entre el gas y el aire añadido si f es una fracción de los picachos lo suficientemente pequeña, de tal manera que:

$$f C_s \theta_0 (1 - \frac{n}{100}) + C_g \theta_0 \frac{n}{100} + C_a \theta_a \frac{n}{100} \frac{R_g}{\kappa_a} \frac{b^2}{b_0^2} \frac{\theta_0}{\theta} \frac{P}{P_0} - 1) = \\ = \theta \left[f C_s (1 - \frac{n}{100}) + C_g \frac{n}{100} + C_a \frac{n}{100} \frac{R_g}{\kappa_a} \left(\frac{b^2}{b_0^2} \frac{\theta_0}{\theta} \frac{P}{P_0} - 1 \right) \right] \quad \dots 199)$$

donde C_s , C_g y C_a son los calores específicos (a presión constante) de rocas, gas volcánico y aire, respectivamente.

En todos los casos se considera que el gas magmático es dióxido de carbono, y en ciertas circunstancias, para valores bajos de n , Ξ_j , ó valores grandes de b_0 , se considera que es agua. Cuando la densidad del material que forma la parte alta de la columna

na, es muy grande, ocurre el colapso, precipitándose hacia abajo el material de la columna, formando un flujo de piroclastos; este colapso sucede de la siguiente forma: Primero al ir aumentando la altura de la columna, la temperatura va disminuyendo, hasta llegar a un valor constante θ_f . Entonces la energía térmica que proporciona el calor del material expulsado es T , donde

$$T = (\theta_0 - \theta_f) \left[\frac{n}{100} C_g + (1 - \frac{n}{100}) C_a \right] \quad \dots(100)$$

y si la energía cinética inicial es $\frac{1}{2} \bar{v}_0^2$, entonces la energía total es $T + \frac{1}{2} \bar{v}_f^2$ Joules. La energía cinética de los gases es entonces, $\frac{1}{2} (1-k)(n/100) \bar{v}_f^2$, donde k es el radio de la masa de la parte alta de la columna, \bar{v}_f es la velocidad final del gas. La energía térmica requerida para calentar el aire añadido es $(n/100)k C_a (\theta_f - \theta_a)$. La velocidad final \bar{v}_f , es calculada, considerando que la cima de la columna está formada por fragmentos de piedra pomez de radio típico de 1mm. Entonces el peso de la columna a una altura H' , es W' , correspondiente a una densidad $P(H')$; introduciendo al mismo tiempo $n=1 \text{ mm}$ y $\sigma=10^3 \text{ kg/m}^3$, para $\bar{v}_f(H')$ en la ecuación (84), considerando el valor del peso a la altura H' y el aumento de la energía potencial debido al aire añadido a la altura h ; tenemos la ecuación correspondiente para diferentes valores:

$$E(H') = G \sum_{i=1}^N m_i (H' - h_i) \quad \dots(101)$$

m_i es la masa del material añadido a la columna, dentro del intervalo h_i . por lo que la energía total es:

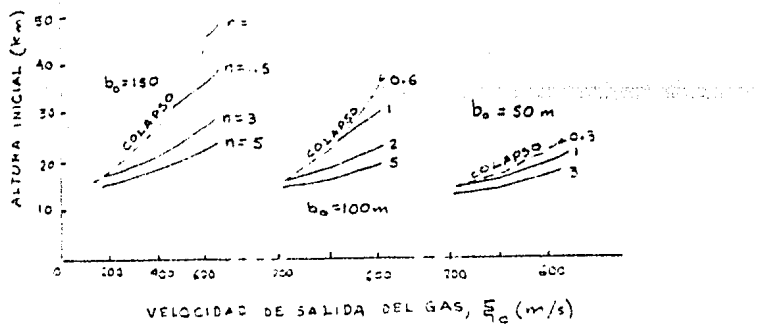
$$(θ_0 - θ_f) \left(\frac{n}{100} C_g + (1 - \frac{n}{100}) C_d \right) + \frac{1}{2} \frac{\xi^2}{\gamma_0} = \frac{1}{2} (1 + k) \frac{n}{100} \frac{\xi^2}{\gamma_f} (H') + \\ + \frac{n}{100} k C_d (\theta_f - \theta_a) + E(H') \quad \dots (102)$$

esta ecuación puede ser resuelta para una altura determinada H' .

En el análisis hecho en esta sección, no se considera la energía debida al calor de condensación del material expulsado, pues se considera que el material que sale de la boca del volcán se condensa inmediatamente, tomando una temperatura inicial de salida $θ_0$, la cual es manejada en esta sección.

Para ciertos valores de n y ξ , con un radio fijo de salida b_0 , de tal manera que la energía potencial en un momento dado es igual a la energía cinética, (sin considerar la energía interna), ocurre el colapso de la columna.

Ejemplos.- Considerando que el gas magmático es agua, Wilson (1976) muestra los siguientes casos:



Gráfica 5:2

Colapso de una columna eruptiva para varias combinaciones de b_0 , n y ξ .

CAPITULO VI

CONCLUSIONES

Los trabajos de Walker, Wilson y Bowell son fundamentales para entender la mecánica del movimiento de piroclastos en una erupción volcánica de tipo pliniano. Con modelos físicos de relativa sencillez son capaces de explicar muchas de las observaciones de campo. Así, es estimulada la investigación en esta área de la Vulcanología física y ha aumentado nuestra comprensión de los procesos dinámicos que ocurren en una erupción volcánica.

En este trabajo presentamos un programa de computadora basado en el análisis de Wilson. El programa predice las trayectorias de piroclastos en la atmósfera terrestre. Los resultados que se obtienen no difieren significativamente de los presentados por estos autores y el programa puede ser utilizado para analizar datos de campo.

APENDICE A

APROXIMACION DE ALGUNAS CURVAS EXPERIMENTALES POR MEDIO DE SEGMENTOS DE RECTA

Curva de la Variación del Coeficiente de Fricción
con Respecto al Número de Reynolds en el intervalo
 10^{-4} a 10^4 , para cilindros. Dada por Lapple y C.B.
Shephard, (1947).

La curva mostrada en la figura 3:1 para la parte de ci
 lindros es aproximada por medio de segmentos de recta, de tal manera
 que sigan una trayectoria lo mas cercana posible a la curva experimen
 tal, figura A:1.

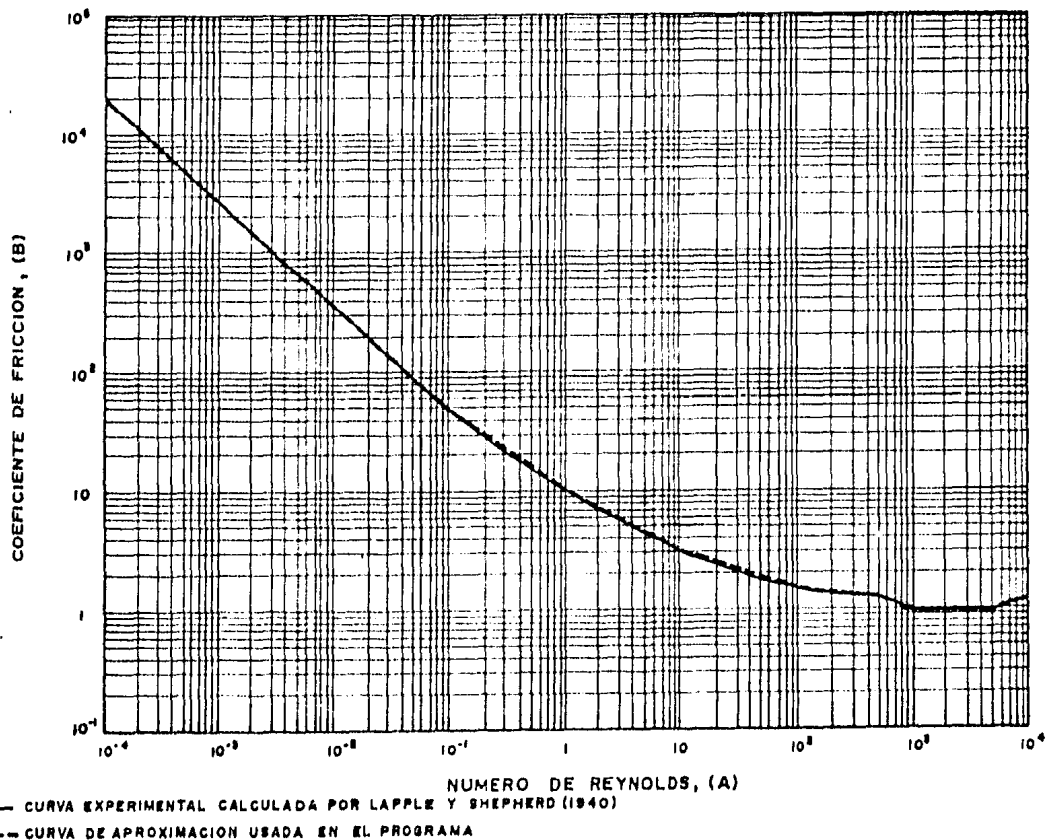
Para realizar este análisis se determinan primero los
 intervalos del número de Reynolds (A_j) donde se considera que el seg
 mento de recta no se separe demasiado de la curva experimental; poste
 riormente que se establecen estos intervalos se encuentra directamen
 te de la gráfica el coeficiente de fricción correspondiente (B_j), en
 contrando así las parejas (A_j , B_j). Ahora por medio de la ecuación -
 para la recta, se establece la ecuación correspondiente para cada seg
 mento de recta:

$$CD = \left[\frac{B_{j+1} - B_j}{A_{j+1} - A_j} \right] (R - A_j) + B_j \quad [1]$$

donde B_{j+1} es el valor del coeficiente de fricción de uno de los extre
 mos de una recta y B_j es el otro valor del coeficiente de fricción del
 mismo segmento de recta, como se muestra en la tabla A:1, así como A_{j+1}

FIGURA A:1

GRAFICA DE LA VARIACION DEL COEFICIENTE DE
FRICCIÓN, B, RESPECTO AL NÚMERO DE REYNOLDS
A, PARA CILINDROS.



y A_j son los valores del número de Reynolds, correspondientes a los extremos del mismo segmento de recta, R es el número de Reynolds que encuentra en cualquier parte del segmento de recta y C_f el coeficiente de fricción.

TABLA A:1

NUMERO	NUMERO DE REYNOLDS	COEFICIENTE DE FRICCIÓN
j	A_j	B_j
1	10^{-4}	2×10^{-4}
2	10^{-1}	50
3	1	10
4	10	3
5	10^2	6
6	5×10^2	4
7	10^3	1
8	5×10^3	1
9	7×10^3	1.1
10	5×10^4	1.14

te de fricción que se desea conocer, correspondiente a R .

Las aproximaciones son hechas hasta números de Reynolds de 5×10^4 , debido a que para números mayores con la rugosidad que se usa en este trabajo varía (ver por ejem. Swanson, 1970), Para números mayores de Reynolds se establecen las siguientes aproximaciones de curvas.

Curva de La Variación del Coeficiente de Fricción con respecto al Número de Reynolds en el Intervalo 10^4 a 5×10^5 , para cilindros con rugosidad de 7×10^{-3} del Diametro del Cilíndro.

Esta curva es aproximada en forma similar a la dada en la sección anterior, estableciendo la ecuación correspondiente:

$$CD = \left[\frac{CR_{f+1} - CR_f}{RN_{f+1} - RN_f} \right] (R - RN_f) + CR_f \quad [2]$$

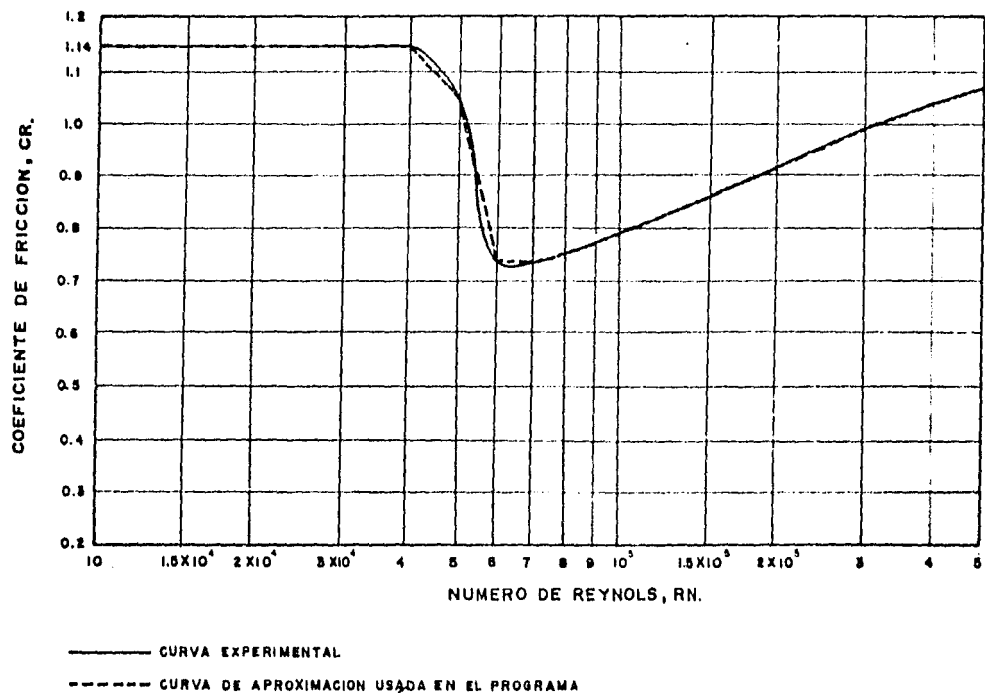
donde CR_{f+1} es el valor del coeficiente de fricción en uno de los extremos del segmento de recta y CR_f es el valor del otro extremo del mismo segmento de recta, así como RN_{f+1} y RN_f son los valores del número de Reynolds, correspondientes a los extremos del mismo segmento de recta, R es el número de Reynolds calculado por medio de la ecuación (5) del capítulo III, y CD es el coeficiente de fricción que se desea conocer para este R calculado.

TABLA A:2

NUMERO	NUMERO DE REYNOLDS	COEFICIENTE DE FICCION
1	10^4	1.14
2	3×10^4	1.14
3	4×10^4	1.14
4	5×10^4	1.05
5	6×10^4	0.73
6	7×10^4	0.74
7	8×10^4	0.75
8	9×10^4	0.77
9	10^5	0.79
10	3×10^5	1.00
11	4×10^5	1.05
12	5×10^5	1.07

FIGURA A:2

GRAFICA DEL COEFICIENTE DE FRICCIÓN, CR,
PARA CILINDROS CON RUGOSIDAD DE 7×10^{-5} DEL DIÁMETRO,
EN FUNCION DEL NÚMERO DE REYNOLS PARA CAPA LÍMITE DE TRANSICIÓN.



Curva de la Variación del Coeficiente de Fricción en función del Número de Mach en el intervalo de 0.1 a 5 Mach, para cilindros. Dada por Hoerner (1965).

La aproximación por medio de polinomios continuos por secciones, se hace en forma similar a las dos secciones anteriores, - de tal manera que se apege lo mas posible a la curva experimental, obteniendo la ecuación para las secciones de rectas:

$$CD = \left[\frac{CD_{k+1} - CD_k}{VR_{k+1} - VR_k} \right] (V_i - V_k) + CD_k \quad [3]$$

donde CD_{k+1} es el valor del coeficiente de fricción correspondiente a uno de los extremos del segmento de recta, CD_k es el valor del coeficiente de fricción del otro extremo del mismo segmento de recta, - así como VR_{k+1} es la velocidad del piroclasto en el extremo del segmento en el punto $k+1$ y VR_k es el valor de la velocidad del piroclasto del otro extremo del mismo segmento, V_i es la velocidad del piroclasto a la cual se quiere conocer el coeficiente de fricción correspondiente, CD . (Tabla A:3).

La curva que se approximó por medio de segmentos de recta es la que corresponde a cilindros con rugosidades de 7×10^{-3} del diámetro del cilindro; para velocidades mayores de 0.7 Mach, los efectos de viscosidad debido a la rugosidad son mínimos de tal manera que el coeficiente de fricción es mínimamente afectado, y este dependerá principalmente de la forma del piroclasto, (Daily, 1975).

CILINDROS CON HUGOSIDAD DE 7 AL DIAZ DEL DIAMETRO
EN FUNCION DEL NUMERO DE MACH, VR, DADA POR
HOERNER (1965)

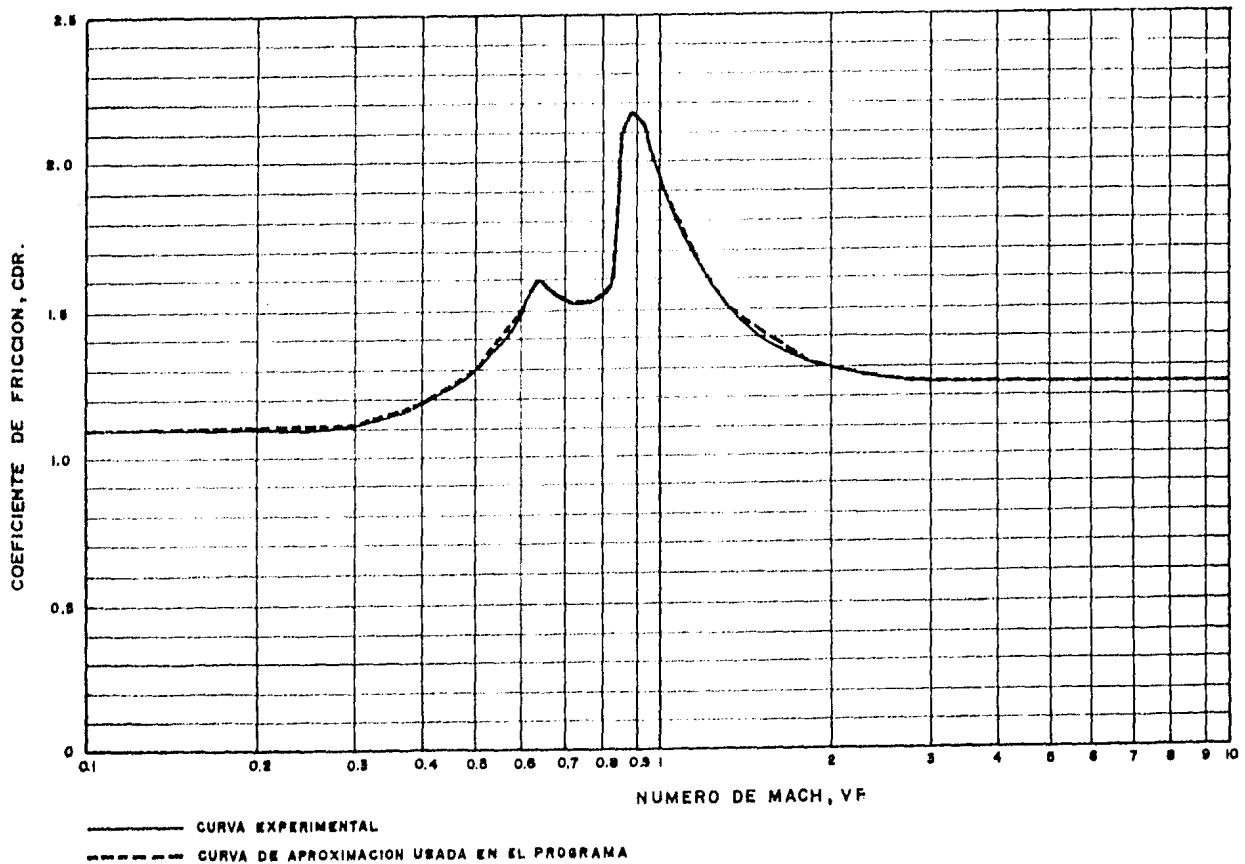


TABLA A:3

PUNTOS DONDE SE UNEN LOS SEGMENTOS
DE RECTA DE LA CURVA DE APROXIMACION A:3

NUMERO	VELOCIDAD (m/s)	COEFICIENTE DE FRICCIÓN
K	VR _K	CDR _K
1	23	1.10
2	69	1.12
3	92	1.18
4	115.	1.30
5	140	1.50
6	147	1.60
7	168	1.53
8	173	1.53
9	187	1.57
10	191	1.87
11	194	2.08
12	211	2.17
13	222	2.08
14	234	1.96
15	276	1.60
16	304	1.46
17	328	1.39
18	374	1.33
19	468	1.30
20	538	1.27
21	702	1.24
22	936	1.23
23	1404	1.23

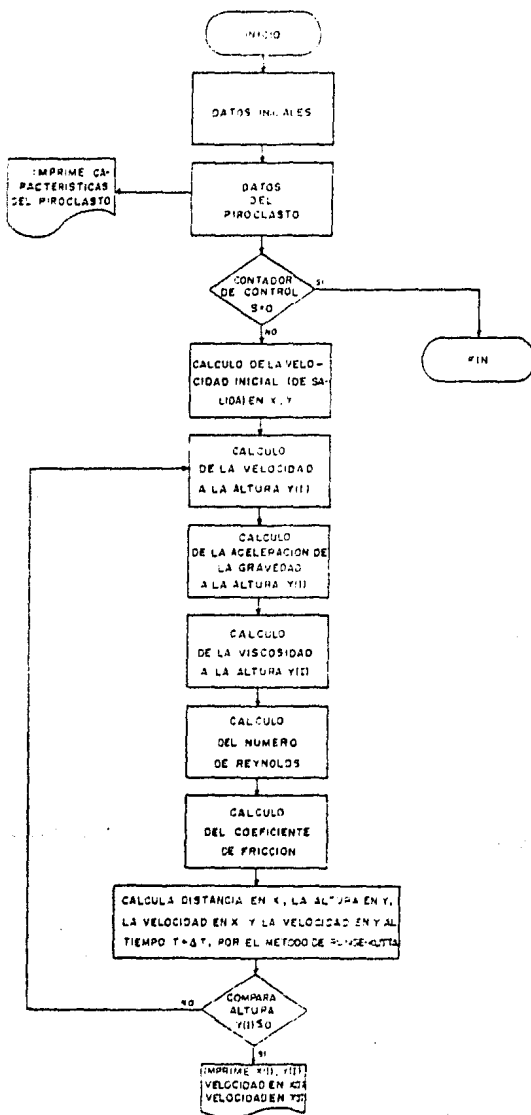
APENDICE B

DIAGRAMA DE FLUJO Y PLANTILLA DE COMPUTO

Antes de describir el diagrama de flujo y el programa, hago una lista de los parámetros que intervienen en el desarrollo y cálculo de resultados, así como también los símbolos usados:

<u>Parámetro</u>	<u>Símbolo</u>	<u>Valor</u>
Aceleración de la gravedad de la Tierra....	G	variable
Densidad de la partícula.....	ρ_p , ρ_D	variable
Densidad del aire	ρ_A , ρ_{DA}	122×10^{-5} gr/cm ³
radio de la Tierra.....	R _E	6.378×10^8 cm
Aceleración de la gravedad al nivel del mar.Gs		9.8×10^2 cm/s ²
ángulo de salida	Θ , THETA	variable
ángulo de la velocidad del aire	ϕ , FI	variable
Velocidad del aire	V _A	variable
Diametro del cilindro	D	variable
Longitud del cilindro	L	2 veces D
Número de Reynolds	R _e , A, N	variable
Coefficiente de fricción	C _D , C _B , C _R , C _{DR}	variable
Velocidad de salida del piroclasto ...	V(2), VII	variable
Intervalo de tiempo	ΔT , DELT	variable
Posición del piroclasto	(X, Y)	variable
Tiempo	T	variable
Viscosidad del aire	η , MU	variable
Velocidad del piroclasto en X	W	variable
Velocidad del piroclasto en Y	U	variable
Número de tarjeta	S	variable

**DIAGRAMA DE FLUJO PARA CALCULAR EL MOVIMIENTO DE PIROCLASTOS
EN LA ATMOSFERA DE LA TIERRA**



FORTRAN IV G1 RELEASE 2.0

MAIN

DATE = 84331

04/35/55

PAGE 0102

```
C CALCULO DE LA VISCOSIDAD (MU) A LA ALTURA (Y1).
0033 200 MU=(372E-6*1/(390/(1405-(1.5E-5*Y1)))*((1.5E-10*1.5E-5*Y1)/273)**6.5
      11.51
0034 GO TO 250
0035 300 MU=1.423E-4
0036 GO TO 250
0037 400 MU=1.72E-6*(390/(1294+2E-5*Y1))**((1.177+2E-5*Y1)/273)**6.5
0038 GO TO 250
0039 500 4411F (L1,L2)
0040 12 F3P4F (LH,Y1 FUERA DE ESTUDIO)
0041 GO TO 1000
C
C CALCULO DEL NUMERO DE REYNOLDS ADECUADO.
0042 250 R=(V1*11*R0A)/MU
      IF (R.GT.1.0E4.AND.R.LE.5.0E5) GO TO 650
0043 IF (R.GT.1.0E4.AND.R.LE.5.0E5) GO TO 731
0044 IF (R.GT.5.0E5) GO TO 731
0045 DO 3 J=1,10
0046 IF (X,G1,A(J).AND.R.LE.A(J+1)) GO TO 200
0047 3 CONTINUE
C
C OBTENCION DEL COEFICIENTE DE FRICCIÓN.
0048 600 CD=0
0049 WRITE (6,14)
0050 14 FORMAT (1H , 'R FUERA DE ESTUDIO')
0051 GO TO 1000
0052 650 GJ 3 FA1,12
      IF (R.GT.RN(F),.AND.R.LE.RN(F+1)) GO TO 730
0053 3 CONTINUE
0054 700 CD=((R(J+1)-B(J)/A(J)+1)-A(J))**(R-A(J))+B(J)
0055 GO TO 750
0056 711 GJ 2 X=L,22
      IF (V(I),GT.VR(X),.AND.V(I),LE.VR(K+1)) GO TO 712
0057 2 CONTINUE
0058 712 CD=1.0*(CR(K+1)-CD*(K+1)/(VR(K+1)-VR(K)))*(V(I)-VR(K))+CD*RI(X)
0059 GO TO 750
0060 730 CD=((CR(F+1)-CR(F))/F)+(F-RN(F))/RN(F))
0061
0062
0063
C
C CALCULO DE LOS FACTORES DE FRICCIÓN P Y Q .
0064 750 P=(2.0*RN(R0A))/(3.14*RD*P0)
      IF (Y(I),LT.YII-111) GO TO 800
0065 IF (Y(I),GT.YII-111) GO TO 820
0066 800 Q=((2.0*CD*RD*P0)/(3.14*RD*P0))
0067 GO TO 850
0068 820 Q=(E*CD*RD*P0)/(3.14*RD*P0)
0069
C
C TIEMPO CARACTERISTICO.
0070 850 T=T+DELT
      IF (U(I),LT.01) GO TO 860
0071
C
C CALCULOS PARCIALES DEL METODO DE RUNGE KUTTA.
0072 K11=H(I)*DELT
0073 K12=U(I)*DELT
0074 M11=P*(1.0*(H(I)+2.0*U(I)+4.0*Q)+0.5*K(I))*DELT
0075 M12=2.0*(H(I)+2.0*U(I)+4.0*Q)+0.5*U(I)*DELT-Q*DELT
0076 K31=(H(I)+M11/2.0)*DELT
```

FORTRAN IV G1 RELEASE 2.0 MAIN DATE = A9331 09/35/55 PAGE (0003

```

0077      K22=(U(11)*(M12/2))+DELT1
0078      M31=-P*(W(11)*(M11/2))+2*(U(11)+(M12/2))*21*0.5)*(W(11)+(M11/2))
0079      1*DELT1
0080      M22=-Q*((W(11)*(M11/2))+2*(U(11)+(M12/2))*21*0.5)*(U(11)+(M12/2))
0081      1*DELT1-(G*DELT1)
0082      K31=(W(11)*(M31/2))+DELT1
0083      K32=U(11)*(M21/2))+DELT1
0084      M31=-P*((W(11)*(M11/2))+2*(U(11)+(M12/2))*21*0.5)*(W(11)+(M11/2))
0085      1*DELT1
0086      M32=-2*((W(11)+(M21/2))*2*(U(11)+(M12/2))*21*0.5)*(U(11)+(M22/2))
0087      1*DELT1-(G*DELT1)
0088      K41=(W(11)*(M31))+DELT1
0089      K42=(W(11)*(M32))+DELT1
0090      M41=-P*((W(11)*(M31))*2*(U(11)+(M32))*21*0.5)*(W(11)+(M31))+DELT1
0091      M42=-Q*((W(11)*(M31))*2*(U(11)+(M32))*21*0.5)*(U(11)+(M32))*DELT1-(G*DELT1)
0092      1*DELT1
0093      C RESULTADOS FINALES AL TIEMPO T(1)+DELT1,
0094      X(1+1)=X(11)*(DELT1/6)*(K11+2*K21+2*K31+K41)
0095      W(1+1)=W(11)*(DELT1/6)*(M11+2*M21+2*M31+M41)
0096      Y(1+1)=Y(11)*(DELT1/6)*(K12+2*K22+2*K32+K42)
0097      U(1+1)=U(11)*(DELT1/6)*(M12+2*M22+2*M32+M42)
0098      GO TO 570
0099      860 U(11)=ABS(U(11))
0100      K11=W(11)*DELT1
0101      K12=U(11)*DELT1
0102      M11=-P*((W(11)*2+U(11)*2)*0.5)*(W(11)*DELT1)
0103      M12=-J*((W(11)*2+U(11)*2)*0.5)*(U(11)*DELT1-G*DELT1)
0104      K21=(W(11)*(M11/2))+DELT1
0105      K22=(U(11)*(M12/2))+DELT1
0106      M21=-P*((W(11)*(M11/2))+2*(U(11)+(M12/2))*21*0.5)*(W(11)+(M11/2))
0107      1*DELT1
0108      M22=-Q*((W(11)*(M11/2))+2*(U(11)+(M12/2))*21*0.5)*(U(11)+(M12/2))
0109      1*DELT1-(G*DELT1)
0110      K31=(W(11)*(M31))+DELT1
0111      K32=U(11)*(M21/2))+DELT1
0112      M31=-P*((W(11)*(M31))*2*(U(11)+(M32))*21*0.5)*(W(11)+(M31))+DELT1
0113      M42=-Q*((W(11)*(M31))*2*(U(11)+(M32))*21*0.5)*(U(11)+(M32))*DELT1-(G*DELT1)
0114      1*DELT1
0115      X(1+1)=X(11)*(DELT1/6)*(K11+2*K21+2*K31+K41)
0116      W(1+1)=W(11)*(DELT1/6)*(M11+2*M21+2*M31+M41)
0117      Y(1+1)=Y(11)*(DELT1/6)*(K12+2*K22+2*K32+K42)
0118      U(1+1)=U(11)*(DELT1/6)*(M12+2*M22+2*M32+M42)
0119      870 IF (Y(1+1).LT.0.0) GO TO 1000
0120      9 CONTINUE
0121      C LISTA DE RESULTADOS TOTALES DEL MOVIMIENTO DEL PIROCLASTO EN ESTUDIO.
0122      C CON POSICION (X,Y), Y VELOCIDAD (W,U).
0123      1000 13=1+
0124      WRITE (6,20)
  
```

04/35/55

DATE = 043555

MAIN

```
FORTRAN IV G3 RELEASE 2.0
      20 FORMAT (3H ,//,7X, 'X(1)', 14X, 'W(1)', 14X, 'Y(1)', 14X, 'U(1)')
      21 WRITE (6,40)
      22 40 FORMAT (1H ,7X, 'CH1', 15X, 'CH2', 15X, 'CH3', 15X, 'CH4', 15X, 'CH5')
      23 20 2 I=1,I3
      24 7 WRITE (6,30) X(I),W(I),Y(I),U(I)
      25 30 FORMAT (1H ,3X,E10.4,BX,E10.4,BX,E10.4,BX,E10.4)
      26 GO TO 100
      27 400 CALL EXIT
      28 END
```

0118
0119
0120
0121
0122
0123
0124
0125
0126

APENDICE C

RESULTADOS NUMERICOS DIRECTOS DE LA COMPUTADORA

ENSIDAD PART=0.2500E 01 DIAM=0.2000E 02 LONG=0.4000E 02 VELOC=0.1000E 04 TIEMPO=0.2000E 00 NUM PART= 0.1000E 01

X(I)	W(I)	Y(I)	Z(I)
CM	CM/S	CM	CM/S
0.0	0.0	0.0	0.0
0.0	0.7056E 03	0.1000E 06	0.7074E 03
0.2024E 02	0.7015E 03	0.1000E 06	0.6771E 03
0.5641E 02	0.7012E 03	0.1000E 06	0.6255E 03
0.8468E 02	0.7054E 03	0.1001E 06	0.5579E 03
0.1127E 03	0.7055E 03	0.1001E 06	0.5494E 03
0.1411E 03	0.7052E 03	0.1001E 06	0.5101E 03
0.1513E 03	0.7049E 03	0.1001E 06	0.4701E 03
0.1977E 03	0.7947E 03	0.1001E 06	0.4315E 03
0.2735E 03	0.7044E 03	0.1002E 06	0.3722E 03
0.2537E 03	0.7041E 03	0.1002E 06	0.3554E 03
0.2611E 03	0.7038E 03	0.1002E 06	0.3131E 03
0.3110E 03	0.7031E 03	0.1002E 06	0.2744E 03
0.3311E 03	0.7031E 03	0.1002E 06	0.2351E 03
0.3611E 03	0.7031E 03	0.1002E 06	0.1955E 03
0.3943E 03	0.7028E 03	0.1002E 06	0.1567E 03
0.4232E 03	0.7025E 03	0.1002E 06	0.1175E 03
0.4505E 03	0.7024E 03	0.1002E 06	0.7426E 02
0.4748E 03	0.7021E 03	0.1002E 06	0.3904E 02
0.5056E 03	0.7014E 03	0.1002E 06	0.1277E 00
0.5334E 03	0.7016E 03	0.1002E 06	0.3433E 02
0.5627E 03	0.7014E 03	0.1002E 06	0.7152E 02
0.5907E 03	0.7012E 03	0.1002E 06	0.1177E 03
0.6168E 03	0.7009E 03	0.1002E 06	0.1564E 03
0.6464E 03	0.7007E 03	0.1002E 06	0.1461E 03
0.6747E 03	0.7004E 03	0.1002E 06	0.2352E 03
0.7024E 03	0.7002E 03	0.1002E 06	0.2744E 03
0.7307E 03	0.6999E 03	0.1002E 06	0.3175E 03
0.7587E 03	0.6997E 03	0.1002E 06	0.3526E 03
0.7856E 03	0.6994E 03	0.1002E 06	0.3117E 03
0.8114E 03	0.6991E 03	0.1002E 06	0.4304E 03
0.8492E 03	0.6989E 03	0.1001E 06	0.4648E 03
0.8725E 03	0.6986E 03	0.1001E 06	0.5033E 03
0.8934E 03	0.6983E 03	0.1001E 06	0.5471E 03
0.9263E 03	0.6950E 03	0.1001E 06	0.5164E 03
0.9542E 03	0.6937E 03	0.1001E 06	0.4258E 03
0.9821E 03	0.6917E 03	0.1000E 06	0.6644E 03
0.1010E 04	0.6917E 03	0.1000E 06	0.7037E 03
0.1038E 04	0.6916E 03	0.1000E 06	0.7425E 03
0.1066E 04	0.6916E 03	0.4418E 05	0.7115E 03
0.1093E 04	0.6916E 03	0.9995E 05	0.7203E 03
0.1121E 04	0.6915E 03	0.4992E 05	0.7541E 03
0.1144E 04	0.6915E 03	0.4984E 05	0.2477E 03
0.1177E 04	0.6914E 03	0.9998E 05	0.7336E 03
0.1205E 04	0.6914E 03	0.5992E 05	0.4753E 03
0.1232E 04	0.6914E 03	0.4979E 05	0.1014E 04
0.1260E 04	0.6913E 03	0.9755E 05	0.1053E 04
0.1288E 04	0.6913E 03	0.4971E 05	0.1076E 04
0.1315E 04	0.6912E 03	0.9472E 05	0.1130E 04
0.1343E 04	0.6912E 03	0.4973E 05	0.1166E 04
0.1371E 04	0.6911E 03	0.9454E 05	0.1207E 04
0.1399E 04	0.6911E 03	0.4955E 05	0.1245E 04
0.1427E 04	0.6911E 03	0.9455E 05	0.1243E 04
0.1454E 04	0.6910E 03	0.4945E 05	0.1128E 04
0.1481E 04	0.6910E 03	0.9440E 05	0.1150E 04
0.1509E 04	0.6910E 03	0.4945E 05	0.1149E 04

ENSIDAD PART=0.2500E 01 DIAM=0.2000E 02 LONG=0.4000E 02 VELOC=0.3000E 04 TIEMPO=0.3000E 00 NUM PART. 0.2000E 01

X(I) CM	W(I) CM/S	Y(I) CM	U(I) CM/S
0.0	0.0	0.0	0.0
0.0	0.2130E 04	0.1000E 06	0.2122E 04
0.1645E 03	0.2112E 04	0.1002E 06	0.2026E 04
0.3782E 03	0.2013E 04	0.1003E 06	0.1430E 04
0.5662E 03	0.2015E 04	0.1005E 06	0.1835E 04
0.7515E 03	0.2046E 04	0.1007E 06	0.1740E 04
0.9430E 03	0.2074E 04	0.1008E 06	0.1644E 04
0.1125E 04	0.2071E 04	0.1009E 06	0.1552E 04
0.1111E 04	0.2064E 04	0.1011E 06	0.1451E 04
0.1491E 04	0.2056E 04	0.1012E 06	0.1366E 04
0.1640E 04	0.2044E 04	0.1013E 06	0.1274E 04
0.1661E 04	0.2043E 04	0.1014E 06	0.1182E 04
0.2046E 04	0.2036E 04	0.1015E 06	0.1090E 04
0.2224E 04	0.2030E 04	0.1016E 06	0.9442E 03
0.2410E 04	0.2024E 04	0.1016E 06	0.9084E 03
0.2591E 04	0.2017E 04	0.1017E 06	0.8180E 03
0.2772E 04	0.2012E 04	0.1018E 06	0.7775E 03
0.2952E 04	0.2006E 04	0.1018E 06	0.7332E 03
0.3132E 04	0.2000E 04	0.1019E 06	0.5944E 03
0.3311E 04	0.1994E 04	0.1019E 06	0.4591E 03
0.3490E 04	0.1986E 04	0.1019E 06	0.3701E 03
0.3663E 04	0.1954E 04	0.1019E 06	0.2813E 03
0.3844E 04	0.1978E 04	0.1020E 06	0.1926E 03
0.4023E 04	0.1973E 04	0.1020E 06	0.1045E 03
0.4200E 04	0.1968E 04	0.1020E 06	0.1640E 02
0.4375E 04	0.1962E 04	0.1019E 06	0.7212E 02
0.4553E 04	0.1957E 04	0.1020E 06	0.1405E 03
0.4727E 04	0.1952E 04	0.1020E 06	0.2447E 03
0.4902E 04	0.1947E 04	0.1019E 06	0.3364E 03
0.5076E 04	0.1942E 04	0.1019E 06	0.4243E 03
0.5250E 04	0.1937E 04	0.1019E 06	0.5117E 03
0.5424E 04	0.1931E 04	0.1019E 06	0.1981E 03
0.5597E 04	0.1926E 04	0.1018E 06	0.6558E 03
0.5770E 04	0.1921E 04	0.1018E 06	0.7725E 03
0.5942E 04	0.1916E 04	0.1018E 06	0.5656E 03
0.6113E 04	0.1910E 04	0.1017E 06	0.4451E 03
0.6284E 04	0.1905E 04	0.1016E 06	0.1031E 04
0.6455E 04	0.1899E 04	0.1015E 06	0.1116E 04
0.6625E 04	0.1894E 04	0.1014E 06	0.1202E 04
0.6795E 04	0.1888E 04	0.1013E 06	0.1287E 04
0.6964E 04	0.1882E 04	0.1012E 06	0.1371E 04
0.7132E 04	0.1876E 04	0.1011E 06	0.1455E 04
0.7300E 04	0.1870E 04	0.1010E 06	0.1539E 04
0.7467E 04	0.1864E 04	0.1009E 06	0.1623E 04
0.7634E 04	0.1858E 04	0.1007E 06	0.1708E 04
0.7802E 04	0.1851E 04	0.1006E 06	0.1784E 04
0.7969E 04	0.1845E 04	0.1004E 06	0.1857E 04
0.8133E 04	0.1838E 04	0.1003E 06	0.1933E 04
0.8295E 04	0.1831E 04	0.1001E 06	0.2004E 04
0.8457E 04	0.1824E 04	0.1004E 05	0.2115E 04
0.8622E 04	0.1817E 04	0.1002E 05	0.1916E 04
0.8785E 04	0.1810E 04	0.1004E 05	0.2071E 04
0.8944E 04	0.1802E 04	0.1011E 05	0.1855E 04
0.9107E 04	0.1795E 04	0.1011E 05	0.1416E 04
0.9264E 04	0.1787E 04	0.1016E 05	0.2012E 04

ENSIDAO PART=0.2500E 01 DTAM=0.2000E 02 LONG=0.4000E 02 VELOC=L.1000E 05 TIEMPO=0.5000E 00 NOM PART= B.3000E 03

X(I)	W(I)	Y(I)	U(I)
CM	CM/S	CM	CM/S
0.0	0.0	0.0	0.0
0.0	0.7000E 04	0.1000E 06	0.7074E 04
0.1684E 04	0.7767E 04	0.1011E 06	0.6534E 04
0.3312E 04	0.8500E 04	0.1031E 06	0.6045E 04
0.4875E 04	0.9262E 04	0.1054E 06	0.5587E 04
0.6435E 04	0.9944E 04	0.1084E 06	0.5156E 04
0.7946E 04	0.5494E 04	0.1070E 06	0.4752E 04
0.9352E 04	0.5170E 04	0.1081E 06	0.4370E 04
0.1064E 05	0.5150E 04	0.1091E 06	0.4000E 04
0.1194E 05	0.5155E 04	0.1100E 06	0.3674E 04
0.1326E 05	0.5121E 04	0.1105E 06	0.3324E 04
0.1455E 05	0.5055E 04	0.1111E 06	0.3022E 04
0.1579E 05	0.4768E 04	0.1122E 06	0.2694E 04
0.1700E 05	0.4550E 04	0.1127E 06	0.2390E 04
0.1811E 05	0.4744E 04	0.1134E 06	0.2094E 04
0.1931E 05	0.4944E 04	0.1132E 06	0.1811E 04
0.2044E 05	0.4550E 04	0.1142E 06	0.1532E 04
0.2161E 05	0.4400E 04	0.1145E 06	0.1262E 04
0.2274E 05	0.4376E 04	0.1143E 06	0.1002E 04
0.2377E 05	0.4379E 04	0.1150E 06	0.7431E 03
0.2492E 05	0.4812E 04	0.1151E 06	0.4930E 03
0.2556E 05	0.4144E 04	0.1152E 06	0.2903E 03
0.2687E 05	0.4073E 04	0.1152E 06	0.1681E 03
0.2747E 05	0.4622E 04	0.1152E 06	0.2533E 03
0.2854E 05	0.1933E 04	0.1152E 06	0.4433E 03
0.2918E 05	0.1572E 04	0.1151E 06	0.7355E 03
0.3071E 05	0.1871E 04	0.1153E 06	0.4752E 03
0.3171E 05	0.3747E 04	0.1148E 06	0.1205E 04
0.3266E 05	0.1637E 04	0.1144E 06	0.1437E 04
0.3394E 05	0.3627E 04	0.1143E 06	0.1162E 04
0.3494E 05	0.3563E 04	0.1129E 06	0.1653E 04
0.3531E 05	0.3570E 04	0.1133E 06	0.2100E 04
0.3612E 05	0.3555E 04	0.1133E 06	0.2311E 04
0.3722E 05	0.3349E 04	0.1125E 06	0.2521E 04
0.3774E 05	0.1333E 04	0.1114E 06	0.2779E 04
0.3887E 05	0.4270E 04	0.1113E 06	0.2925E 04
0.3945E 05	0.3212E 04	0.1100E 06	0.3121E 04
0.4027E 05	0.3155E 04	0.1079E 06	0.3311E 04
0.4110E 05	0.3132E 04	0.1041E 06	0.3476E 04
0.4180E 05	0.3054E 04	0.1233E 06	0.3677E 04
0.4355E 05	0.2933E 04	0.1274E 06	0.3352E 04
0.4326E 05	0.2742E 04	0.1056E 06	0.4022E 04
0.4370E 05	0.2341E 04	0.1055E 06	0.4137E 04
0.4464E 05	0.2432E 04	0.1046E 06	0.4344E 04
0.4535E 05	0.2744E 04	0.1010E 06	0.4551E 04
0.4605E 05	0.2615E 04	0.1024E 06	0.4644E 04
0.4671E 05	0.2235E 04	0.1017E 06	0.4710E 04
0.4715E 05	0.3555E 04	0.1004E 06	0.4430E 04
0.4792E 05	0.2524E 04	0.9857E 06	0.5032E 04
0.4855E 05	0.2477E 04	0.9710E 06	0.5154E 04
0.4913E 05	0.3333E 04	0.9617E 06	0.5111E 04
0.4972E 05	0.2217E 04	0.9537E 06	0.4945E 04
0.5033E 05	0.3222E 04	0.9477E 06	0.5153E 04
0.5161E 05	0.3337E 04	0.9415E 06	0.5310E 04
0.5194E 05	0.2184E 04	0.9337E 06	0.5174E 04
0.5196E 05	0.3234E 04	0.9354E 06	0.5144E 04

0.5247E 05	0.2064E 04	0.6819E 05	0.3437E 04
0.5247E 05	0.2001E 04	0.6668E 05	0.4025E 04
0.5346E 05	0.1748E 04	0.6520E 05	0.4108E 04
0.5346E 05	0.1896E 04	0.6319E 05	0.4114E 04
0.5439E 05	0.1845E 04	0.6211E 05	0.4263E 04
0.5439E 05	0.1744E 04	0.6061E 05	0.4335E 04
0.5528E 05	0.1715E 04	0.7405E 05	0.4402E 04
0.5528E 05	0.1617E 04	0.7746E 05	0.4466E 04
0.5611E 05	0.1649E 04	0.7541E 05	0.4527E 04
0.5651E 05	0.1603E 04	0.7474E 05	0.4584E 04
0.5651E 05	0.1552E 04	0.7226E 05	0.4638E 04
0.5728E 05	0.1513E 04	0.7096E 05	0.4470E 04
0.5747E 05	0.1444E 04	0.6410E 05	0.4733E 04
0.5810E 05	0.1427E 04	0.1763E 05	0.4734E 04
0.5835E 05	0.1355E 04	0.6544E 05	0.4822E 04
0.5844E 05	0.1335E 04	0.6424E 05	0.4847E 04
0.5911E 05	0.1305E 04	0.6251E 05	0.4905E 04
0.5913E 05	0.1267E 04	0.6062E 05	0.4440E 04
0.5944E 05	0.1229E 04	0.5904E 05	0.4923E 04
0.5943E 05	0.1192E 04	0.5731E 05	0.2005E 04
0.6022E 05	0.1157E 04	0.5551E 05	0.7034E 04
0.6050E 05	0.1122E 04	0.5334E 05	0.7061E 04
0.6078E 05	0.1088E 04	0.5210E 05	0.7082E 04
0.6104E 05	0.1055E 04	0.5034E 05	0.7111E 04
0.6113E 05	0.1023E 04	0.4851E 05	0.7134E 04
0.6154E 05	0.9911E 03	0.4671E 05	0.7155E 04
0.6178E 05	0.9613E 03	0.4500E 05	0.7174E 04
0.6202E 05	0.9311E 03	0.4321E 05	0.7193E 04
0.6224E 05	0.9022E 03	0.4142E 05	0.7210E 04
0.6246E 05	0.8753E 03	0.3962E 05	0.7229E 04
0.6267E 05	0.8443E 03	0.3782E 05	0.7241E 04
0.6295E 05	0.8220E 03	0.3601E 05	0.7255E 04
0.6326E 05	0.7946E 03	0.3420E 05	0.7264E 04
0.6327E 05	0.7714E 03	0.3331E 05	0.7281E 04
0.6346E 05	0.7478E 03	0.3057E 05	0.7292E 04
0.6364E 05	0.7245E 03	0.2875E 05	0.7303E 04
0.6381E 05	0.7014E 03	0.2694E 05	0.7313E 04
0.6395E 05	0.6800E 03	0.2510E 05	0.7323E 04
0.6415E 05	0.6537E 03	0.2327E 05	0.7331E 04
0.6431E 05	0.6311E 03	0.2144E 05	0.7340E 04
0.6446E 05	0.6118E 03	0.1961E 05	0.7347E 04
0.6461E 05	0.5987E 03	0.1777E 05	0.7354E 04
0.6476E 05	0.5799E 03	0.1593E 05	0.7361E 04
0.6490E 05	0.5617E 03	0.1410E 05	0.7367E 04
0.6503E 05	0.5440E 03	0.1226E 05	-0.7373E 04

ENSLOAD PART=0.2500E 01 DIAM=0.2000E 02 LONG=0.4000E 02 VELOC=0.3000E 05 TIEMPO=0.5000E 00 NUM PART= 0.4000E 01

X(I)	W(I)	Y(I)	U(I)
CM	CM/S	CM	CM/S
0.0	0.0	0.0	0.0
0.3	0.2120E 05	0.1000E 06	0.2122E 05
0.4553E 04	0.1450E 05	0.1045E 06	0.1830E 05
0.5111E 04	0.1111E 05	0.1044E 06	0.1572E 05
0.1194E 05	0.1193E 05	0.1112E 06	0.1395E 05
0.1519E 05	0.1233E 05	0.1145E 06	0.1144E 05
0.1731E 05	0.1131E 05	0.1171E 06	0.1045E 05
0.2044E 05	0.1042E 05	0.1195E 06	0.9314E 04
0.2242E 05	0.9195E 04	0.1216E 06	0.8515E 04
0.2577E 05	0.9191E 04	0.1235E 06	0.7763E 04
0.2722E 05	0.8124E 04	0.1253E 06	0.7108E 04
0.2927E 05	0.8117E 04	0.1264E 06	0.6524E 04
0.3122E 05	0.7530E 04	0.1284E 06	0.5914E 04
0.3330E 05	0.7481E 04	0.1294E 06	0.5508E 04
0.3453E 05	0.7141E 04	0.1310E 06	0.5059E 04
0.3646E 05	0.6729E 04	0.1322E 06	0.4634E 04
0.3820E 05	0.6691E 04	0.1333E 06	0.4243E 04
0.3990E 05	0.6474E 04	0.1342E 06	0.3816E 04
0.4144E 05	0.6275E 04	0.1351E 06	0.3512E 04
0.4299E 05	0.6049E 04	0.1354E 06	0.3171E 04
0.4444E 05	0.5922E 04	0.1366E 06	0.2845E 04
0.4591E 05	0.5765E 04	0.1372E 06	0.2531E 04
0.4731E 05	0.5515E 04	0.1373E 06	0.2228E 04
0.4845E 05	0.5402E 04	0.1383E 06	0.1934E 04
0.5020E 05	0.5350E 04	0.1387E 06	0.1644E 04
0.5133E 05	0.5285E 04	0.1390E 06	0.1372E 04
0.5262E 05	0.5112E 04	0.1393E 06	0.1102E 04
0.5335E 05	0.5002E 04	0.1395E 06	0.8390E 03
0.5530E 05	0.4851E 04	0.1397E 06	0.5817E 03
0.5628E 05	0.4793E 04	0.1417E 06	0.3900E 03
0.5745E 05	0.4703E 04	0.1433E 06	0.6337E 02
0.5861E 05	0.4611E 04	0.1437E 06	0.1544E 03
0.5974E 05	0.4523E 04	0.1437E 06	0.4044E 03
0.6034E 05	0.4433E 04	0.1437E 06	0.6523E 03
0.6193E 05	0.4354E 04	0.1436E 06	0.8818E 03
0.6300E 05	0.4276E 04	0.1434E 06	0.1122E 04
0.6405E 05	0.4195E 04	0.1432E 06	0.1351E 04
0.6506E 05	0.4122E 04	0.1389E 06	0.1575E 04
0.6601E 05	0.4046E 04	0.1366E 06	0.1745E 04
0.6701E 05	0.3975E 04	0.1332E 06	0.2010E 04
0.6831E 05	0.3912E 04	0.1377E 06	0.2222E 04
0.6902E 05	0.3831E 04	0.1372E 06	0.2429E 04
0.6496E 05	0.3760E 04	0.1367E 06	0.2612E 04
0.7036E 05	0.3679E 04	0.1361E 06	0.2830E 04
0.7177E 05	0.3620E 04	0.1354E 06	0.3024E 04
0.7267E 05	0.3553E 04	0.1347E 06	0.3213E 04
0.7354E 05	0.3481E 04	0.1339E 06	0.3398E 04
0.7437E 05	0.3412E 04	0.1331E 06	0.3573E 04
0.7523E 05	0.3343E 04	0.1323E 06	0.3752E 04
0.7605E 05	0.3274E 04	0.1314E 06	0.3922E 04
0.7685E 05	0.3305E 04	0.1315E 06	0.4067E 04
0.7763E 05	0.3135E 04	0.1295E 06	0.4216E 04
0.7844E 05	0.3070E 04	0.1295E 06	0.4400E 04
0.7915E 05	0.3002E 04	0.1274E 06	0.4544E 04
0.7985E 05	0.2933E 04	0.1253E 06	0.4643E 04
0.8054E 05	0.2844E 04	0.1251E 06	0.4832E 04

0.4130E 05	0.2805E 04	0.1849E 06	0.4646E 04
0.4145E 05	0.2716E 04	0.1828E 06	0.5049E 04
0.4265E 05	0.2671E 04	0.1815E 06	0.5212E 04
0.4333E 05	0.2606E 04	0.1802E 06	0.5335E 04
0.4394E 05	0.2542E 04	0.1818E 06	0.5444E 04
0.4456E 05	0.2471E 04	0.1826E 06	0.5557E 04
0.4511E 05	0.2411E 04	0.1832E 06	0.5661E 04
0.4575E 05	0.2349E 04	0.1848E 06	0.5760E 04
0.4632E 05	0.2284E 04	0.1834E 06	0.5854E 04
0.4688E 05	0.2234E 04	0.1824E 06	0.5945E 04
0.4742E 05	0.2175E 04	0.1819E 06	0.6030E 04
0.4795E 05	0.2117E 04	0.1809E 06	0.6112E 04
0.4847E 05	0.2056E 04	0.1807E 06	0.6114E 04
0.4897E 05	0.2001E 04	0.1810E 06	0.6126E 04
0.4944E 05	0.1944E 04	0.1814E 06	0.6127E 04
0.4991E 05	0.1891E 04	0.1817E 06	0.6130E 04
0.4034E 05	0.1842E 04	0.1813E 06	0.6143E 04
0.4086E 05	0.1791E 04	0.1816E 05	0.6152E 04
0.4132E 05	0.1739E 04	0.1803E 05	0.6157E 04
0.4176E 05	0.1679E 04	0.1804E 05	0.6163E 04
0.4210E 05	0.1619E 04	0.1808E 05	0.6163E 04
0.4250E 05	0.1559E 04	0.1814E 05	0.6173E 04
0.4281E 05	0.1508E 04	0.1817E 05	0.6176E 04
0.4326E 05	0.1501E 04	0.1817E 05	0.6181E 04
0.4333E 05	0.1459E 04	0.1801E 05	0.6185E 04
0.4374E 05	0.1411E 04	0.1817E 05	0.6186E 04
0.4417E 05	0.1372E 04	0.1816E 05	0.6193E 04
0.4466E 05	0.1333E 04	0.1809E 05	0.6196E 04
0.4493E 05	0.1291E 04	0.1811E 05	0.6196E 04
0.4520E 05	0.1250E 04	0.1817E 05	0.6202E 04
0.4556E 05	0.1216E 04	0.1772E 05	0.6204E 04
0.4583E 05	0.1179E 04	0.1794E 05	0.6207E 04
0.4618E 05	0.1144E 04	0.1790E 05	0.6210E 04
0.4644E 05	0.1111E 04	0.1794E 05	0.6213E 04
0.4673E 05	0.1075E 04	0.1805E 05	0.6214E 04
0.4694E 05	0.1042E 04	0.1867E 05	0.6216E 04
0.4724E 05	0.1010E 04	0.1704E 05	0.6216E 04
0.4744E 05	0.4711E 03	0.1652E 05	0.6202E 04
0.4772E 05	0.4453E 03	0.1635E 05	0.6214E 04
0.4795E 05	0.4111E 03	0.1616E 05	0.6234E 04
0.4817E 05	0.4911E 03	0.1593E 05	0.6246E 04
0.4839E 05	0.4631E 03	0.1580E 05	0.6248E 04
0.4860E 05	0.4317E 03	0.1627E 05	0.6274E 04
0.4880E 05	0.4032E 03	0.1545E 05	0.6286E 04
0.4900E 05	0.7854E 03	0.5263E 05	-0.2247E 04

ENSIDAD PART=0.2500E 01 DIAM=0.2000E 02 LONG=0.4000E 02 VELOC=0.6000E 05 TIEMPO=0.5000E 00 NUM PART= 0.5000E 01

X(I)	X(I) CM/S	Y(I)	U(I) CM/S
0.0	0.0	0.0	0.0
0.0	0.4241E 05	0.1000E 06	0.4244E 05
0.6249E 04	0.3456E 05	0.1042E 06	0.3441E 05
0.1531E 05	0.2341E 05	0.1119E 06	0.2355E 05
0.2135E 05	0.2416E 05	0.1211E 06	0.2417E 05
0.2662E 05	0.2135E 05	0.1262E 06	0.2072E 05
0.3114E 05	0.1856E 05	0.1306E 06	0.1737E 05
0.3516E 05	0.1624E 05	0.1343E 06	0.1534E 05
0.3655E 05	0.1411E 05	0.1375E 06	0.1318E 05
0.4179E 05	0.1270E 05	0.1414E 06	0.1119E 05
0.4459E 05	0.1147E 05	0.1437E 06	0.1024E 05
0.4722E 05	0.1057E 05	0.1452E 06	0.9352E 04
0.4916E 05	0.9331E 04	0.1473E 06	0.8335E 04
0.5119E 05	0.4228E 04	0.1497E 06	0.7555E 04
0.5414E 05	0.4723E 04	0.1517E 06	0.6955E 04
0.5621E 05	0.5144E 04	0.1535E 06	0.6376E 04
0.5931E 05	0.7915E 04	0.1560E 06	0.5655E 04
0.6003E 05	0.7535E 04	0.1559E 06	0.5373E 04
0.6119E 05	0.7291E 04	0.1556E 06	0.4938E 04
0.6335E 05	0.7019E 04	0.1576E 06	0.4513E 04
0.6553E 05	0.6783E 04	0.1587E 06	0.4121E 04
0.6764E 05	0.6553E 04	0.1591E 06	0.3750E 04
0.6885E 05	0.6360E 04	0.1595E 06	0.3357E 04
0.7012E 05	0.6174E 04	0.1597E 06	0.3056E 04
0.7136E 05	0.5932E 04	0.1611E 06	0.2736E 04
0.7370E 05	0.5681E 04	0.1635E 06	0.2425E 04
0.7495E 05	0.5614E 04	0.1640E 06	0.2124E 04
0.7553E 05	0.5551E 04	0.1645E 06	0.1832E 04
0.7722E 05	0.5413E 04	0.1647E 06	0.1533E 04
0.7935E 05	0.5234E 04	0.1648E 06	0.1375E 04
0.7944E 05	0.5176E 04	0.1649E 06	0.1317E 04
0.8113E 05	0.5036E 04	0.1649E 06	0.7554E 03
0.8231E 05	0.4915E 04	0.1649E 06	0.5120E 03
0.8357E 05	0.4835E 04	0.1649E 06	0.2930E 03
0.8472E 05	0.4757E 04	0.1649E 06	0.4635E 03
0.8593E 05	0.4663E 04	0.1649E 06	0.2344E 03
0.8707E 05	0.4521E 04	0.1649E 06	0.4445E 03
0.8814E 05	0.4466E 04	0.1649E 06	0.2331E 03
0.8927E 05	0.4403E 04	0.1647E 06	0.1224E 03
0.9037E 05	0.4370E 04	0.1645E 06	0.1055E 03
0.9143E 05	0.4241E 04	0.1643E 06	0.1332E 03
0.9247E 05	0.4113E 04	0.1640E 06	0.1654E 03
0.9349E 05	0.4012E 04	0.1636E 06	0.1372E 03
0.9450E 05	0.3912E 04	0.1632E 06	0.2033E 03
0.9544E 05	0.3939E 04	0.1627E 06	0.2275E 03
0.9645E 05	0.3835E 04	0.1622E 06	0.2100E 03
0.9734E 05	0.3742E 04	0.1614E 06	0.2220E 03
0.9830E 05	0.3720E 04	0.1610E 06	0.2447E 03
0.9933E 05	0.3648E 04	0.1603E 06	0.2039E 03
0.1001E 06	0.3577E 04	0.1596E 06	0.1937E 03
0.1012E 06	0.3530E 04	0.1586E 06	0.1434E 03
0.1019E 06	0.3496E 04	0.1589E 06	0.1333E 03
0.1027E 06	0.3456E 04	0.1571E 06	0.1055E 03
0.1035E 06	0.3426E 04	0.1552E 06	0.1321E 03
0.1043E 06	0.3326E 04	0.1565E 06	0.1339E 03
0.1051E 06	0.3157E 04	0.1560E 06	0.1755E 03

0.1054E 04	0.3088E 04	0.1632E 04	0.4445E 04
0.1066E 04	0.3014E 04	0.1621E 04	0.4595E 04
0.1074E 04	0.2931E 04	0.1510E 04	0.4737E 04
0.1081E 04	0.2888E 04	0.1449E 04	0.4879E 04
0.1088E 04	0.2816E 04	0.1487E 04	0.5004E 04
0.1095E 04	0.2749E 04	0.1475E 04	0.5133E 04
0.1103E 04	0.2653E 04	0.1462E 04	0.5253E 04
0.1114E 04	0.2613E 04	0.1441E 04	0.5361E 04
0.1115E 04	0.2553E 04	0.1421E 04	0.5481E 04
0.1121E 04	0.2446E 04	0.1423E 04	0.5585E 04
0.1127E 04	0.2446E 04	0.1404E 04	0.5694E 04
0.1133E 04	0.2334E 04	0.1395E 04	0.5725E 04
0.1134E 04	0.2332E 04	0.1391E 04	0.5800E 04
0.1144E 04	0.2249E 04	0.1166E 04	0.5916E 04
0.1150E 04	0.2128E 04	0.1137E 04	0.6050E 04
0.1154E 04	0.2124E 04	0.1137E 04	0.6134E 04
0.1158E 04	0.2066E 04	0.1326E 04	0.6210E 04
0.1159E 04	0.2010E 04	0.1306E 04	0.6282E 04
0.1170E 04	0.1955E 04	0.1291E 04	0.6351E 04
0.1175E 04	0.1939E 04	0.1275E 04	0.6412E 04
0.1177E 04	0.1847E 04	0.1254E 04	0.6473E 04
0.1184E 04	0.1795E 04	0.1243E 04	0.6537E 04
0.1188E 04	0.1744E 04	0.1227E 04	0.6594E 04
0.1192E 04	0.1679E 04	0.1210E 04	0.6646E 04
0.1197E 04	0.1644E 04	0.1179E 04	0.6695E 04
0.1201E 04	0.1590E 04	0.1177E 04	0.6742E 04
0.1204E 04	0.1512E 04	0.1161E 04	0.6787E 04
0.1208E 04	0.1537E 04	0.1144E 04	0.6824E 04
0.1212E 04	0.1463E 04	0.1127E 04	0.6866E 04
0.1215E 04	0.1411E 04	0.1110E 04	0.6905E 04
0.1214E 04	0.1177E 04	0.1049E 04	0.6939E 04
0.1222E 04	0.1331E 04	0.1075E 04	0.6972E 04
0.1225E 04	0.1294E 04	0.1035E 04	0.7030E 04
0.1229E 04	0.1252E 04	0.1020E 04	0.7031E 04
0.1237E 04	0.1214E 04	0.1024E 04	0.7054E 04
0.1235E 04	0.1181E 04	0.1005E 04	0.7083E 04
0.1237E 04	0.1146E 04	0.1077E 05	0.7107E 04
0.1240E 04	0.1111E 04	0.1090E 05	0.7129E 04
0.1243E 04	0.1077E 04	0.1052E 05	0.7150E 04
0.1245E 04	0.1044E 04	0.9349E 05	0.7170E 04
0.1248E 04	0.1012E 04	0.9165E 05	0.7188E 04
0.1250E 04	0.9411E 03	0.9786E 05	0.7205E 04
0.1253E 04	0.8507E 03	0.8806E 05	0.7221E 04
0.1255E 04	0.9215E 03	0.8626E 05	0.7236E 04
0.1257E 04	0.8430E 03	0.8445E 05	0.7251E 04

ENSOED PART=0.2500E 01 DIAM=0.2000E 02 LONG=0.4000E 02 VELOC=0.1000E 06 TIEMPO=0.6000E 00 NUM PART. 0.6000E 01

X(I) CM	W(I) CM/S	Y(I) CM	U(I) CM/S
0.0	0.0	0.0	0.0
0.0	0.7015E 05	0.1000E 06	0.7072E 05
0.1580E 05	0.4151E 05	0.1157E 06	0.4635E 05
0.2377E 05	0.3019E 05	0.1278E 06	0.3346E 05
0.3776E 05	0.2684E 05	0.1373E 06	0.2620E 05
0.4570E 05	0.2175E 05	0.1456E 06	0.2094E 05
0.5225E 05	0.1795E 05	0.1511E 06	0.1647E 05
0.5793E 05	0.1476E 05	0.1552E 06	0.1365E 05
0.6310E 05	0.1026E 05	0.1607E 06	0.1104E 05
0.6942E 05	0.9751E 04	0.1657E 06	0.8170E 04
0.7257E 05	0.5100E 04	0.1691E 06	0.7154E 04
0.7556E 05	0.6769E 04	0.1716E 06	0.6308E 04
0.7720E 05	0.7111E 04	0.1727E 06	0.5573E 04
0.8131E 05	0.7119E 04	0.1755E 06	0.4411E 04
0.8182E 05	0.6700E 04	0.1770E 06	0.4327E 04
0.8662E 05	0.6000E 04	0.1794E 06	0.3730E 04
0.8655E 05	0.6318E 04	0.1791E 06	0.3275E 04
0.1075E 05	0.6857E 04	0.1857E 06	0.2901E 04
0.1236E 05	0.5586E 04	0.1851E 06	0.2335E 04
0.1443E 05	0.5615E 04	0.1853E 06	0.1715E 04
0.1655E 05	0.5422E 04	0.1858E 06	0.1516E 04
0.1675E 05	0.5249E 04	0.1853E 06	0.1123E 04
0.1001E 04	0.5071E 04	0.1851E 06	0.7445E 03
0.1024E 04	0.4912E 04	0.1853E 06	0.3783E 03
0.1041E 04	0.4763E 04	0.1857E 06	0.2320E 02
0.1058E 04	0.4547E 04	0.1833E 06	0.3217E 03
0.1074E 04	0.4514E 04	0.1836E 06	0.1733E 03
0.1093E 04	0.4292E 04	0.1835E 06	0.1115E 04
0.1109E 04	0.4021E 04	0.1830E 06	0.1144E 04
0.1112E 04	0.4116E 04	0.1828E 06	0.1471E 04
0.1135E 04	0.4059E 04	0.1823E 06	0.1166E 04
0.1150E 04	0.3952E 04	0.1817E 06	0.2049E 04
0.1163E 04	0.3847E 04	0.1810E 06	0.2524E 04
0.1177E 04	0.3794E 04	0.1811E 06	0.8771E 04
0.1191E 04	0.3641E 04	0.1712E 06	0.3155E 04
0.1203E 04	0.3531E 04	0.1761E 06	0.3423E 04
0.1215E 04	0.3436E 04	0.1772E 06	0.3681E 04
0.1222E 04	0.3337E 04	0.1757E 06	0.3524E 04
0.1233E 04	0.3332E 04	0.1744E 06	0.4157E 04
0.1252E 04	0.3137E 04	0.1727E 06	0.4393E 04
0.1261E 04	0.3033E 04	0.1714E 06	0.4609E 04
0.1272E 04	0.2740E 04	0.1698E 06	0.4814E 04
0.1283E 04	0.2443E 04	0.1681E 06	0.5008E 04
0.1292E 04	0.2746E 04	0.1654E 06	0.5191E 04
0.1332E 04	0.2151E 04	0.1646E 06	0.5334E 04
0.1311E 04	0.2556E 04	0.1627E 06	0.5526E 04
0.1320E 04	0.2466E 04	0.1607E 06	0.5678E 04
0.1327E 04	0.2375E 04	0.1587E 06	0.5682E 04
0.1332E 04	0.2027E 04	0.1567E 06	0.5953E 04
0.1344E 04	0.2000E 04	0.1541E 06	0.1077E 04
0.1352E 04	0.2115E 04	0.1524E 06	0.1141E 04
0.1335E 04	0.2033E 04	0.1502E 06	0.6793E 04
0.1362E 04	0.1753E 04	0.1443E 06	0.6197E 04
0.1374E 04	0.1375E 04	0.1437E 06	0.6493E 04
0.1340E 04	0.1794E 04	0.1434E 06	0.1557E 04

REFERENCIAS

- Allen, C. 1963. *Astrophysical Quantities*. Athlone Press, London.
- Dally, J. W. and Harkenau, D. R. F. 1975. *Dinámica de Fluidos*. Trillas, México.
- De Nevers, Noel 1970. *Fluid Mechanics*. Addison - Wesley Publishing Company.
- Harten, J. B. 1946. *Geofísica*. Espasa - Calpe, Argentina.
- Holmes, R. 1965. *Principles of Physical Geology*. Nelson.
- Liverner, S. F. 1965. *Fluid - Dynamic Drag*. Publicación hecha por el autor. New York.
- Kuo, S. S. 1966. *Numerical Methods and Computers*. Addison - Wesley Publishing Company.
- Laplace, C. E. and Shepherd, C. B. 1940. *Calculation of Particle Trajectories*. Ind. Enz. Chem. 32 - 605-617. American Chemical Society.
- Mc Henzie, D. P. y Richter, F. 1977. *Corrientes de Convección en el Manto Terrestre*. Investigación y Ciencia. Enero 1977 - No. 4. Prensa Científica. Barcelona, España.
- Nali, I. 1975. *The Subduction of the Lithosphere*. Scientific American November 1975. No. 5, Vol 233. New York.
- Prandtl, L. 1949. *The Essentials of Fluid Dynamics*. Blackie and Son. Ltd. London and Glasgow.
- Roberson, J. A. y Cruse, C. T. 1983. *Mecánica de Fluidos*. Interamericana. S. A. de C. V.
- Resnick, R. and Halliday, D. 1970. *Física*. Vol. 1. Continental, S. A., México.

- Southworth and Deleew. 1965. *Digital Computation Numerical Methods*. McGraw - Hill.
- Sparks, R. S. J. and Wilson, L. 1976. A Model for the Formation of Ignimbrite by Ungravitational Column Collapse. *Geol. Soc. London Vol 132*
- Sparks, Wilson and Hulme. 1978. Theoretical Modeling of the Generation, Movement, and Emplacement of Pyroclastic Flows by Column Collapse. *Journal of Geophysical Research. April 10, 1978. Vol 83 No. B4*
- Swanson, W. M. 1970. *Fluid Mechanics*. Holt, Rinehart and Winston, Inc.
- Tuzo, W. 1963. *Continental Drift*. Scientific American. April 1963, no. 4, Vol 208. New York
- Walker, Wilson and Bowell 1971. Explosive Volcanic Eruptions I. The Rate of Pyroclasts. *Tectonophys. J. R., Astr. Soc. (1971), 22, 377-383*
- Wilson, L. 1972. Explosive Volcanic Eruptions II. The Atmospheric Trajectories of Pyroclasts. *Tectonophys., J.R., Astr. Soc. (1972) 30, 381-392*
- Wilson, L. 1976. Explosive Volcanic Eruptions III. Plinian Eruption Columns. *Tectonophys., J.R., Astr. Soc. (1976) 45, 543-556.*
- Winston, E. S. 1972 *The Dynamics of the Earth*. Thomas Y. Crowell Company, Inc.
- Yoder, H. S., Jr. 1976. *Generation of Basaltic Igneous*. National Academy of Sciences, Washington, D. C., U. S. A.